



# 通信电路原理

---

## 第七章 锁相环

### 锁相环原理



# 锁相环

---

- 7.1 概述：从幅度滤波到相位滤波
- 7.2 PLL基本原理
  - 各部件特性与数学模型
  - 环路方程和相位模型
- 7.3 PLL的线性分析
- 7.4 PLL的非线性分析
- 7.5 集成锁相环
- 7.6 PLL电路实例和应用举例
- 附 AFC：自动频率控制

$$H(j\omega) = A(\omega)e^{j\varphi(\omega)} \quad \tau_g(\omega) = -\frac{d\varphi}{d\omega} \overset{\substack{\text{以低通滤波为例} \\ \text{通带内}}}{\approx} -\frac{\varphi(\omega)}{\omega} = \tau_p(\omega)$$

## 7.1 从幅度滤波到相位滤波

- 第二章讨论的滤波器，是针对幅度进行滤波的：以低通滤波器为例

$$v_{in}(t) = V_m \cos \omega t$$

$$v_{out}(t) = A(\omega)V_m \cos(\omega t + \varphi(\omega)) = A(\omega)V_m \cos \omega(t - \tau_p(\omega))$$

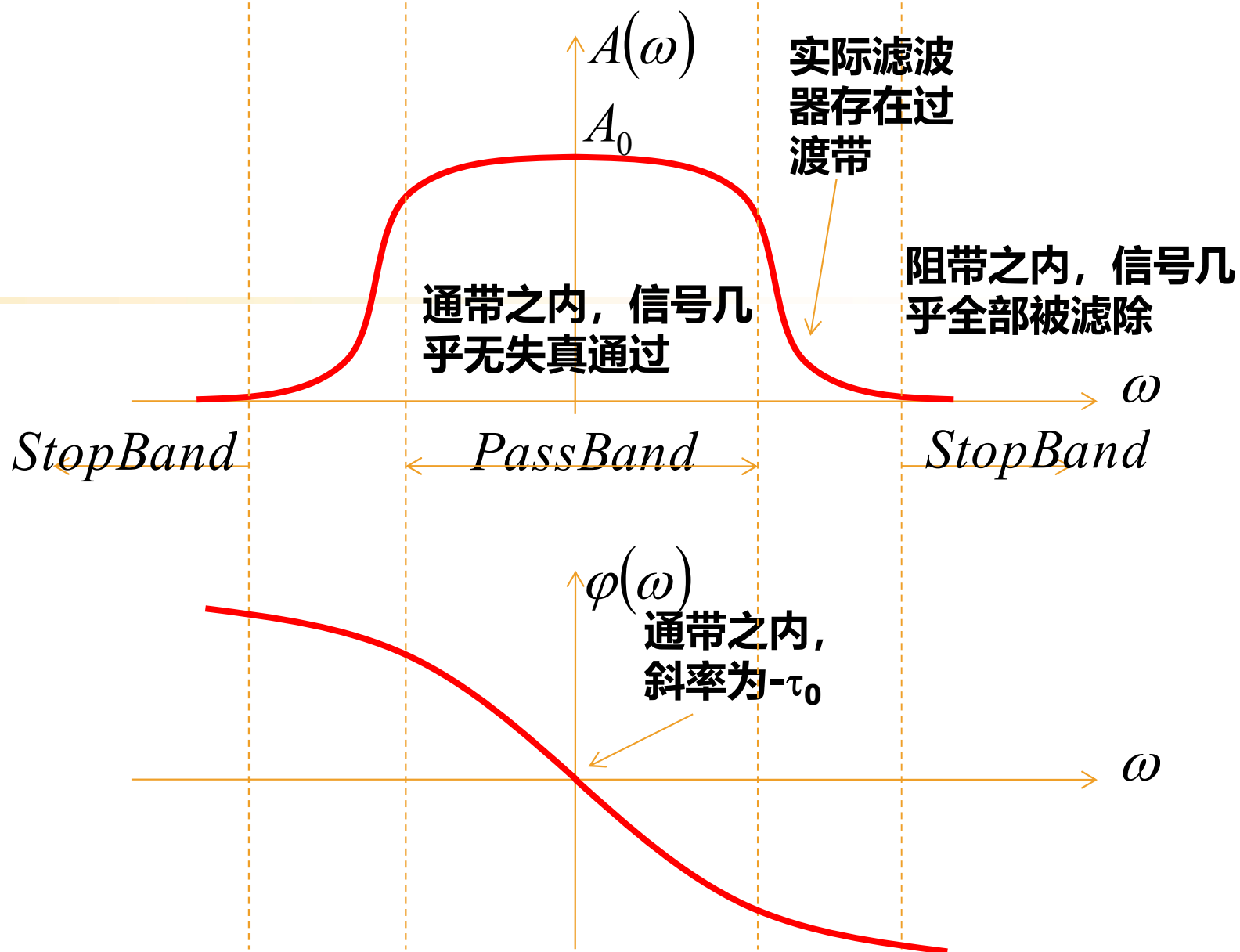
**如果 $\omega$ 落在通带之内**  $A(\omega) \approx A_0 = A(\omega = 0)$   $\tau(\omega) \approx \tau_0 = \tau(\omega = 0)$

$$v_{out}(t) \approx A_0 V_m \cos \omega(t - \tau_0) \quad \text{信号几乎无失真通过} \quad \omega \in PassBand$$

**如果 $\omega_0$ 落在阻带之内**  $A(\omega) \approx \frac{A_0}{\omega^n} \approx 0$

$$v_{out}(t) \approx 0 \quad \text{信号几乎被滤除不见} \quad \omega \in StopBand$$

# 滤波特性



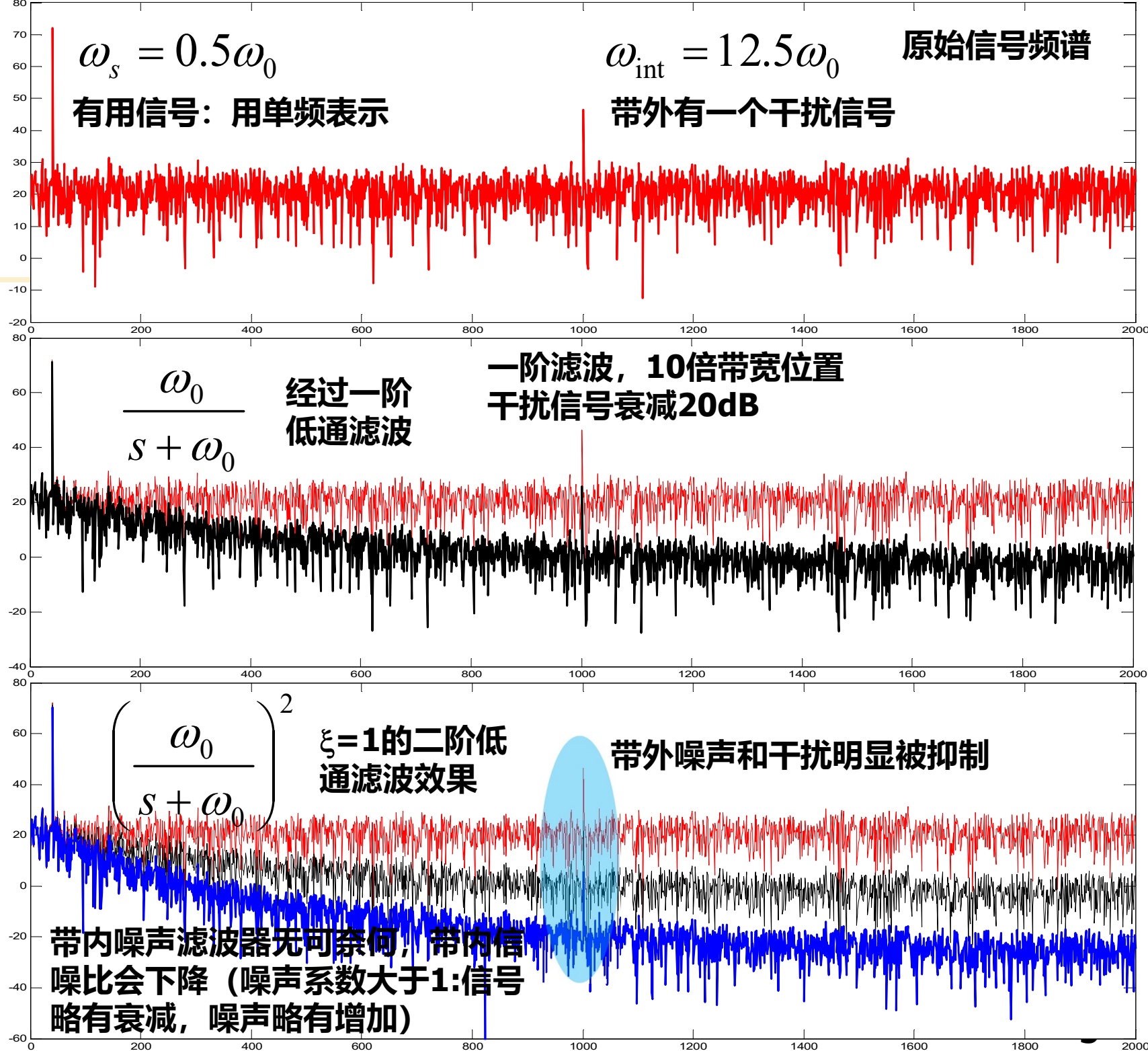
$$v_{in}(t) = v_s(t) + v_n(t) \quad \longrightarrow \quad v_{out}(t) \approx A_0 v_s(t - \tau_0) + v'_n(t)$$

假设信号频谱全部位于通带之内

通带内噪声过, 阻带内噪声被滤除

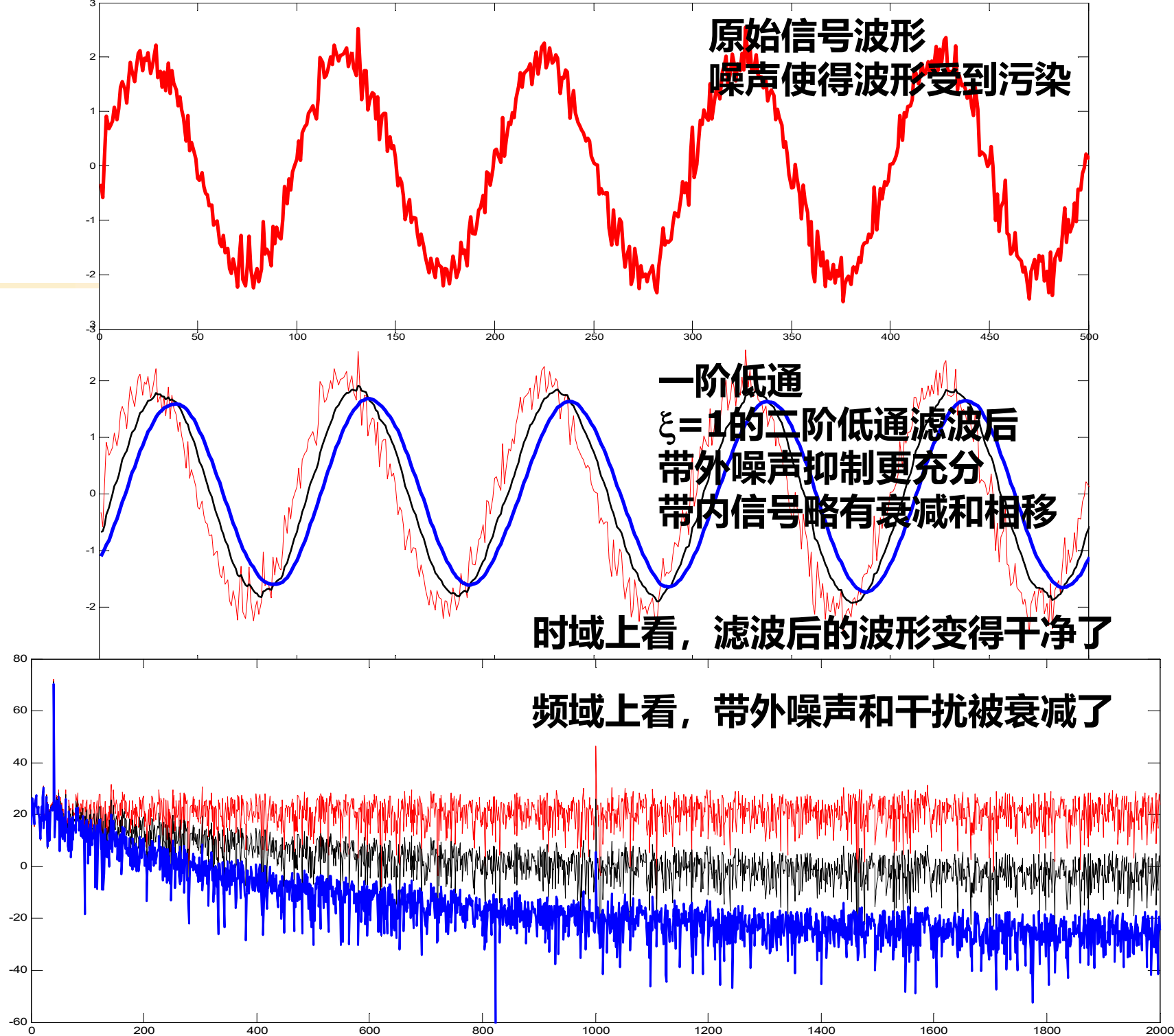
# 一阶二阶低通滤波效果

## 频域



# 一阶二阶低通滤波效果

时域



# 已调正弦波信号

- 调幅波，信息负荷在正弦波幅度上
- 调频波和调相波，信息是负荷在正弦波的相位上

$$A(t) = V_{0m} + k_{AM} \cdot v_f(t) \quad v_{AM}(t) = (V_{0m} + k_{AM} v_f(t)) \cos(\omega_c t + \varphi_0)$$

$$\begin{aligned} \omega(t) &= \omega_c + k_{FM} \cdot v_f(t) \\ v_{FM}(t) &= V_{0m} \cos\left(\int_0^t \omega(\tau) d\tau + \varphi_0\right) \\ &= V_{0m} \cos\left(\omega_c t + k_{FM} \int_0^t v_f(\tau) d\tau + \varphi_0\right) \end{aligned}$$

$$\varphi(t) = \varphi_0 + k_{PM} \cdot v_f(t) \quad v_{PM}(t) = V_{0m} \cos(\omega_c t + k_{PM} v_f(t) + \varphi_0)$$

# 加性噪声：导致调幅调相

$$\begin{aligned} v_s(t) + v_n(t) &= V_{0m} \cos \omega_c t + V_{nm} \cos \omega_n t = V_{0m} \cos \omega_c t + V_{nm} \cos(\omega_c t + (\omega_n - \omega_c)t) \\ &= V_{0m} \cos \omega_c t + V_{nm} \cos \omega_c t \cos \Omega_n t - V_{nm} \sin \omega_c t \sin \Omega_n t \\ &= (V_{0m} + V_{nm} \cos \Omega_n t) \cos \omega_c t - (V_{nm} \sin \Omega_n t) \sin \omega_c t \\ &= A \cos \omega_c t + B \sin \omega_c t = V_{0m+n} \cos(\omega_c t + \varphi_n) \end{aligned} \quad (\Omega_n = \omega_n - \omega_c)$$

$$\begin{aligned} V_{0m+n} &= \sqrt{(V_{0m} + V_{nm} \cos \Omega_n t)^2 + (V_{nm} \sin \Omega_n t)^2} = \sqrt{V_{0m}^2 + V_{nm}^2 + 2V_{0m}V_{nm} \cos \Omega_n t} \\ &= \sqrt{V_{0m}^2 + V_{nm}^2} \sqrt{1 + \frac{2V_{0m}V_{nm}}{V_{0m}^2 + V_{nm}^2} \cos \Omega_n t} \approx \sqrt{V_{0m}^2 + V_{nm}^2} \left( 1 + \frac{V_{0m}V_{nm}}{V_{0m}^2 + V_{nm}^2} \cos \Omega_n t \right) \\ &\approx V_{0m} \left( 1 + \frac{V_{nm}}{V_{0m}} \cos \Omega_n t \right) = V_{0m} + V_{nm} \cos \Omega_n t \end{aligned} \quad (V_{nm} \ll V_{0m})$$

$$\varphi_n = \arctan \frac{V_{nm} \sin \Omega_n t}{V_{0m} + V_{nm} \cos \Omega_n t} \approx \arctan \frac{V_{nm} \sin \Omega_n t}{V_{0m}} \approx \frac{V_{nm}}{V_{0m}} \sin \Omega_n t$$



调频波和调相波均为调角波，以调相波为例  
考察噪声影响

# 噪声影响

由于调幅噪声可以通过限幅器去除，这里只  
考察相位上的噪声影响

$$\varphi_t(t) = \varphi_0 + k_{PM} \cdot v_f(t) = \varphi_0 + k_{PM} \cdot (v_s(t) + v_{ni}(t))$$

发射机的调相情况：信息调制在相位上

如果考虑噪声，接收机接收信号的相位为

$$\varphi_r(t) = \varphi_0 + k_{PM} \cdot v_s(t) + k_{PM} \cdot v_{ni}(t) + \frac{V_{nm}}{V_{0m}} \sin \Omega_n t + \varphi_{nA}(t)$$

接收机期望  
接收的负荷  
了信息的有  
用信号

发射机信号中  
的噪声

信道传输，发射  
机处理，接收机  
处理中的加性噪  
声或干扰导致的  
相位调制噪声

发射机和接收机  
相位处理过程中  
附加的各种相位  
噪声，包括振荡  
器自身的相位噪  
声

# 相位噪声不可避免

$$\varphi_r(t) = \varphi_0 + k_{PM} \cdot v_s(t) + k_{PM} \cdot v_{ni}(t) + \frac{V_{nm}}{V_{0m}} \sin \Omega_n t + \varphi_{nA}(t)$$

$$v_{PM,r}(t) = V_{0m} \cos \left( \omega_c t + \varphi_0 + k_{PM} \cdot v_s(t) + k_{PM} \cdot v_{ni}(t) + \frac{V_{nm}}{V_{0m}} \sin \Omega_n t + \varphi_{nA}(t) \right)$$

假设调幅噪声已  
通过限幅器去除，  
不予考虑

**相位噪声：phase noise**

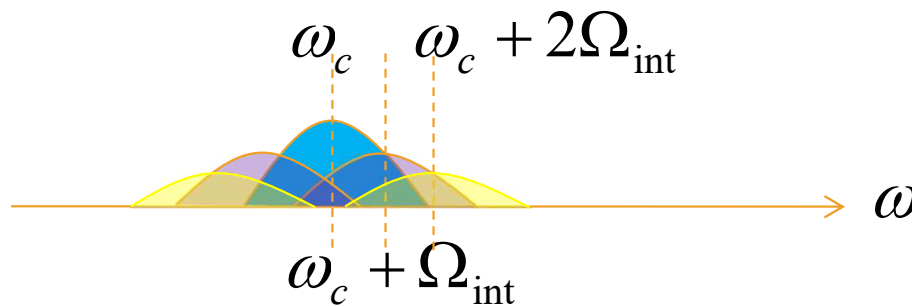
附着在正弦波相位上的噪声：包括输入信号自带的噪声，传输与处理过程中的加性噪声导致的调相噪声，调制器与解调器相位处理过程中附加的其他相位噪声

只要电路中的某个因素能够影响频率或相位，那么这个因素的不确定性就会导致相位噪声，正弦信号中的相位噪声不可避免，...

正弦波振荡器频率稳定性（时域）对应相位噪声（频域），频率波动就越大，振荡频率稳定性就越差，相位噪声也就越大

# 频谱混叠，带内噪声难以滤除 用一个单频干扰信号代表相位噪声

$$\begin{aligned} v_{PM}(t) &= V_{0m} \cos(\omega_c t + k_{PM} v_s(t) + \theta_{\text{int}} \sin \Omega_{\text{int}} t + \varphi_0) \\ &= \sum_{n=-\infty}^{n=+\infty} V_{0m} J_n(\theta_{\text{int}}) \cos((\omega_c + n\Omega_{\text{int}})t + k_{PM} v_s(t) + \varphi_0) \end{aligned}$$



**想象：可否进入到相位域进行直接的相位滤波？**

相位上的噪声，会导致信号频谱在带内出现混叠，用幅度滤波器虽然可消除带外干扰，带内较为严重的频谱混叠并不能消除！！

# 是否存在相位域内的 相位滤波的可能性？

$$v_{PM}(t) = V_{0m} \cos(\omega_c t + k_{PM} v_s(t) + \varphi_n(t) + \theta_{int} \sin \Omega_{int} t + \varphi_0)$$

而非对电压信号的频谱进行滤波处理

直接对相位信号的频谱进行滤波处理

相位低通滤波器

相位谱上的低通滤波： $A(\omega) e^{j\varphi(\omega)}$

$$v'_{PM}(t) = V_{0m} \cos(\omega_c t + k_{PM} A_0 v_s(t - \tau_0) + \varphi_{n,out}(t) + \theta_{int} A_\varphi(\Omega_{int}) \sin(\Omega_{int} t + \varphi_\varphi(\Omega_{int})) + \varphi_0)$$

带内信号保留

带内噪声保留  
带外噪声抑制

带外干扰抑制： $A_\varphi \approx 0$

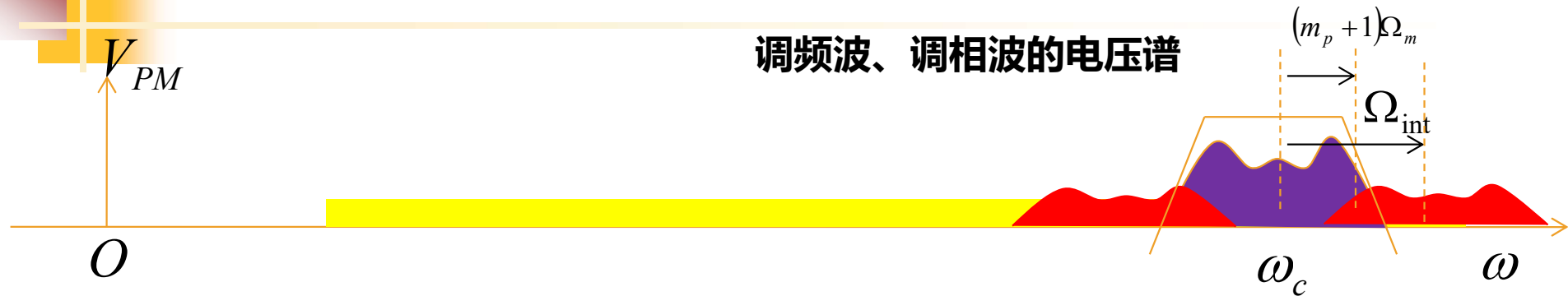
直流分量对低通而言通过，保留

$$\Omega_{\text{int}} < 2(m_P + 1)\Omega_m$$

电压谱的频谱就会混叠

# 电压谱和相位谱

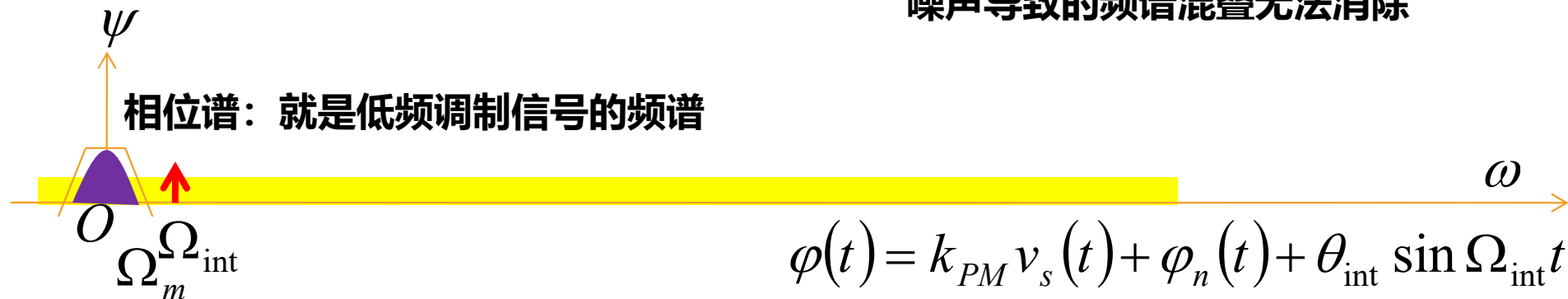
调频波、调相波的电压谱



$$v_{PM}(t) = V_{0m} \cos(\omega_c t + k_{PM} v_s(t) + \varphi_n(t) + \theta_{\text{int}} \sin \Omega_{\text{int}} t + \varphi_0)$$

噪声导致的频谱混叠无法消除

相位谱：就是低频调制信号的频谱



$$\varphi(t) = k_{PM} v_s(t) + \varphi_n(t) + \theta_{\text{int}} \sin \Omega_{\text{int}} t$$

$$\Omega_{\text{int}} > \Omega_m$$

带外噪声被相位滤波器滤除

$$\varphi_{\text{out}}(t) \approx k_{PM} v_s(t - \tau_0) + \varphi_{n,\text{out}}(t)$$

信号干净了很多

相位谱的频谱就可以分离，从而干扰被滤除

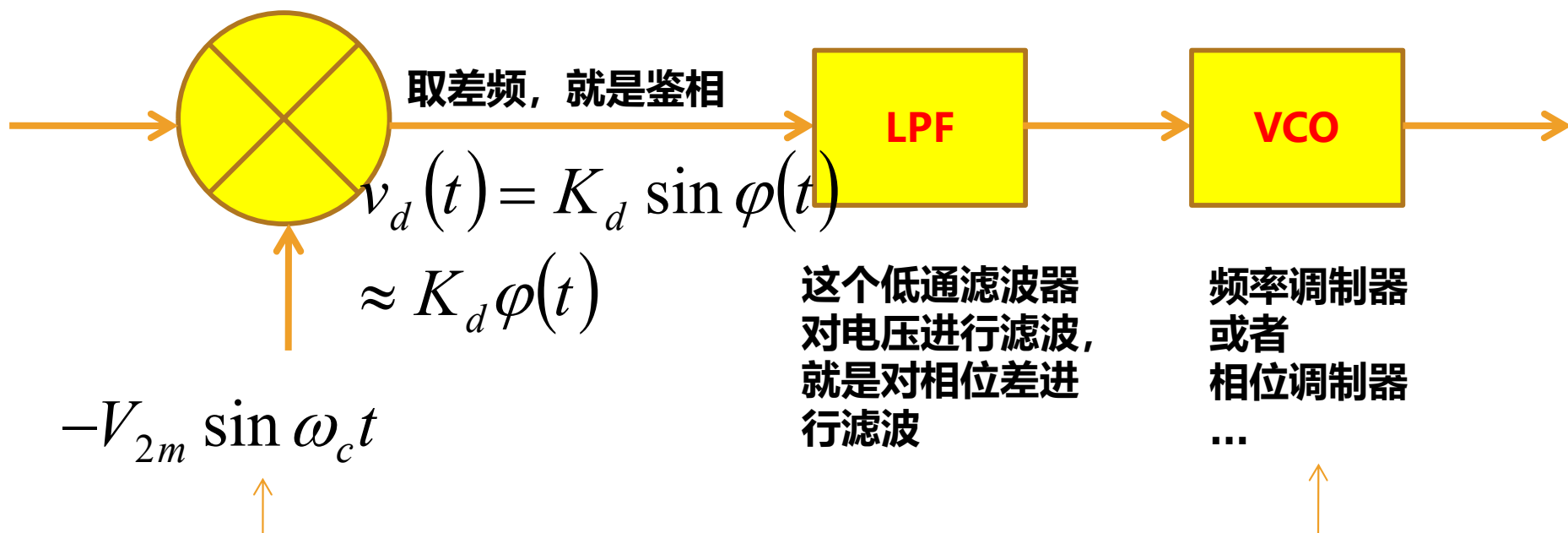
# 如何走进相位域进行相位滤波？

- 我们学过的滤波器是针对电压信号的，现在需要走进相位域
  - 将有噪声的相位转化为电压，对电压进行滤波，滤波后的电压再转化为相位
    - 相当于对相位做了滤波
- 第一步把相位转化为电压：鉴相器
  - 下面的讨论以乘法器实现的鉴相器为例
- 第二步对电压进行滤波
  - 普通RC滤波即可（非功率传输问题，是信息处理，无需考虑阻抗匹配问题）
- 第三步将电压转化为相位
  - 调相，调频，压控振荡器VCO，...
- 问题：如何确保VCO输出中心频率和输入的完全一致

$$v'_{PM}(t) = V_{0m} \cos(\omega_c t + k_{PM} v_{s,out}(t) + \varphi_{n,out}(t) + \theta_{int} A_\varphi(\Omega_{int}) \sin(\Omega_{int} t + \varphi_\varphi(\Omega_{int})) + \varphi_0)$$

# 实现相位滤波可能的构件

$$v_{PM}(t) = V_{0m} \cos(\omega_c t + \varphi(t))$$

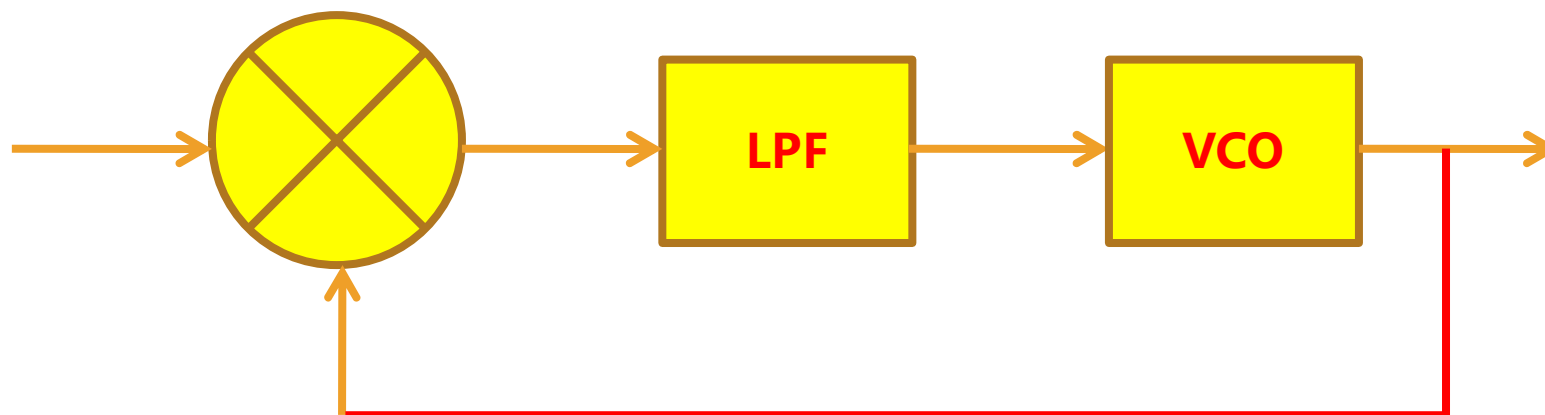


问题1: 谁提供这个鉴相基准

问题2: 如何确保它的中心频率的准确性和稳定性

# 用输出做基准可否？

1、如果相位滤波起作用了，VCO的输出就是比较干净的频谱



2、用这个频谱相对干净的信号做鉴相基准，可否？

3、可。显然这是一个反馈路径：应该形成负反馈路径，否则会出现相位信号的振荡、锁死、不稳定

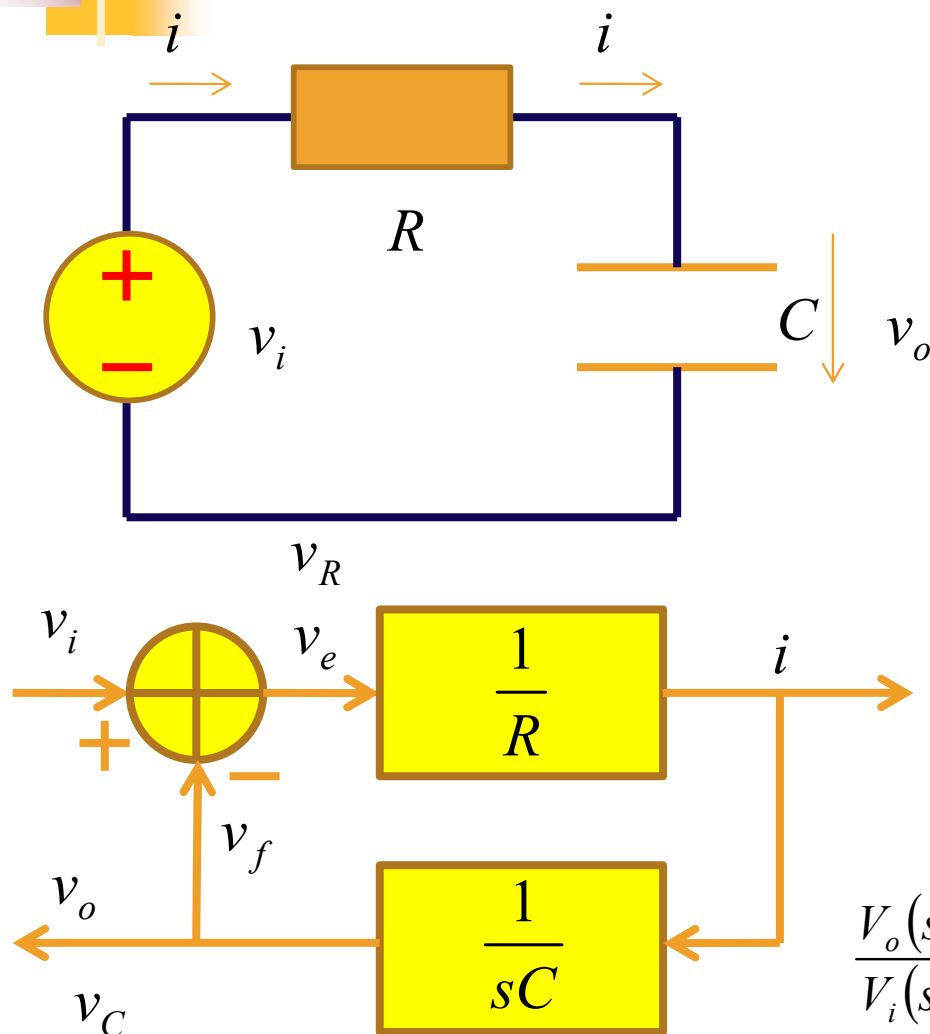
通过调整LPF参数，可以让VCO输出是单频信号：相位上的所有波动全部被滤除，包括信号和噪声，只剩下单频载波输出：载波跟踪应用：第一种应用

**第二种应用：**调制跟踪应用：输出相位跟踪输入相位，通带内信号保留并跟踪，通带外信号滤除：可实现调相波（调频波）的相位低通滤波



# 为何负反馈环路可实现低通滤波?

## 一阶低通滤波的负反馈信号流图解释



$$\frac{V_o(s)}{V_i(s)} = \frac{\frac{1}{sC}}{R + \frac{1}{sC}} = \frac{\frac{1}{RC}}{s + \frac{1}{RC}} = \frac{\omega_0}{s + \omega_0}$$

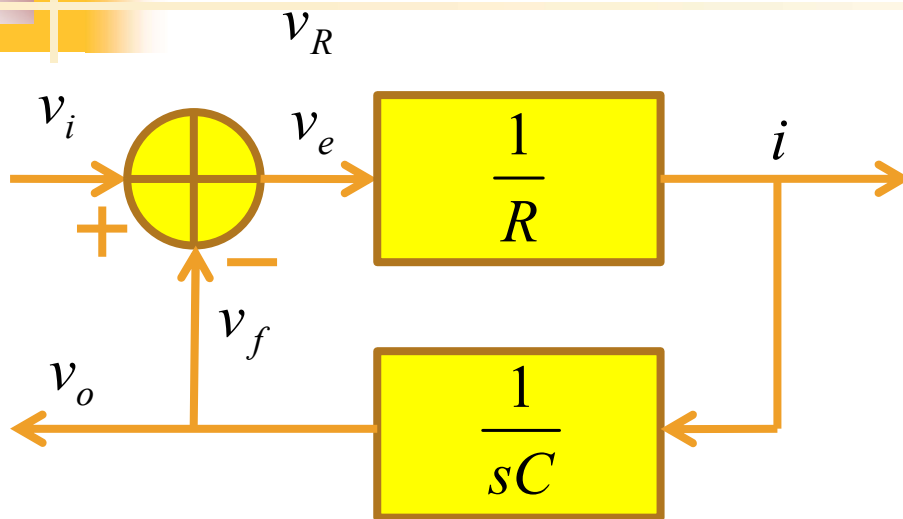
$$G_{m0} = \frac{1}{R}$$

$$R_F = \frac{1}{sC}$$

$$G_{mF} = \frac{G_{m0}}{1 + G_{m0}R_F} = \frac{\frac{1}{R}}{1 + \frac{1}{sRC}} = \frac{sC}{1 + sRC}$$

$$\frac{V_o(s)}{V_i(s)} = \frac{V_o(s)}{I(s)} \frac{I(s)}{V_i(s)} = \frac{1}{sC} G_{mF} = \frac{1}{1 + sRC} = \frac{\frac{1}{RC}}{s + \frac{1}{RC}} = \frac{\omega_0}{s + \omega_0}$$

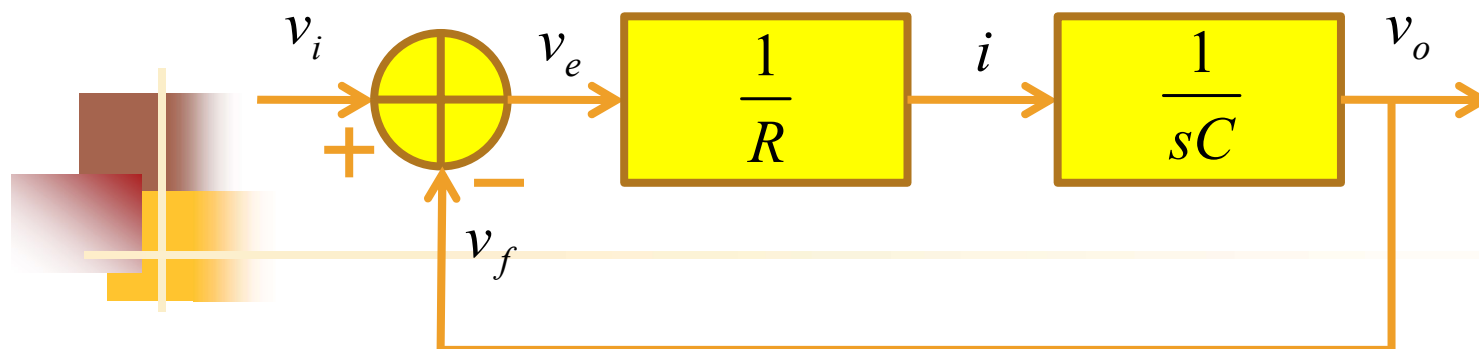
# 单位负反馈理解



$$A_{v0} = \frac{1}{sRC} \quad F = 1$$

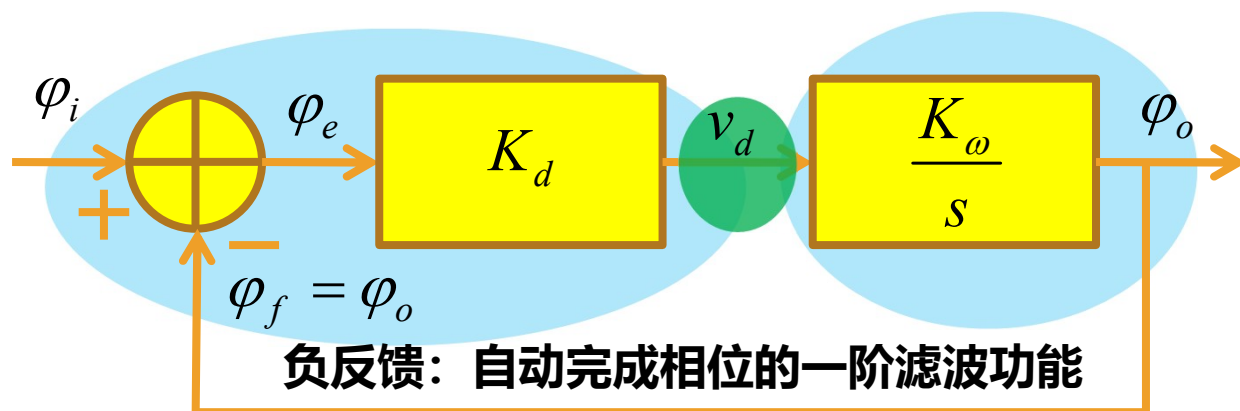
$$\begin{aligned} A_{vF} &= \frac{A_{v0}}{1 + A_{v0}F} \\ &= \frac{\frac{1}{sRC}}{1 + \frac{1}{sRC}} = \frac{1}{1 + sRC} \\ &= \frac{\frac{1}{RC}}{s + \frac{1}{RC}} = \frac{\omega_0}{s + \omega_0} \end{aligned}$$

# 从电压滤波到相位滤波



鉴相器：相位转电压

VCO：电压转频率，频率积分为相位



负反馈：自动完成相位的一阶滤波功能

$$\frac{\varphi_o(s)}{\varphi_i(s)} = \frac{A_0}{1 + A_0 F} = \frac{\frac{K_d K_\omega}{s}}{1 + \frac{K_d K_\omega}{s}} = \frac{K_d K_\omega}{s + K_d K_\omega} = \frac{\omega_0}{s + \omega_0}$$

我们可以利用相位负反馈系统实现滤波功能

这就是锁相环的基本原理：如果期望更好的滤波效果，中间需要添加电压滤波器

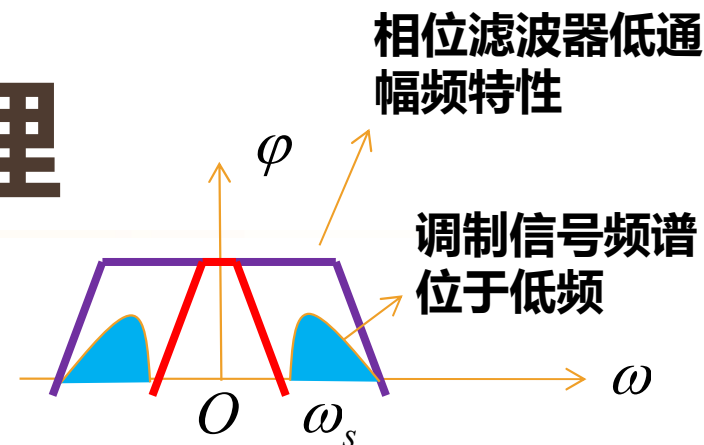
## 二、锁相环基本原理

### ■ 锁相环

#### ■ PLL: Phase Locked Loop

##### ■ 输出相位锁定输入相位

- 如果输入相位变化频率落在相位滤波器通带之内：输入相位怎么变化，输出则随之变化：调制跟踪锁相环
- 如果输入相位变化频率落在相位滤波器通带之外：输出中心频率严格等于输入中心频率：载波跟踪锁相环



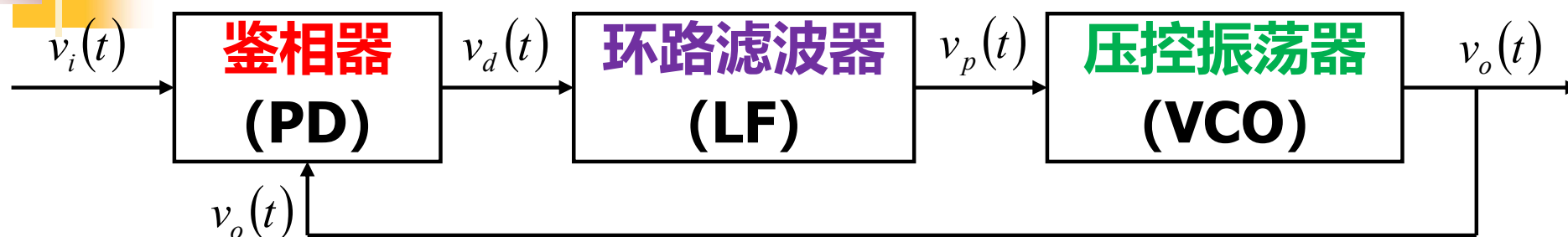
### ■ 锁相环原理框图

### ■ 锁相环基本构件数学模型

### ■ 锁相环闭环环路方程分析

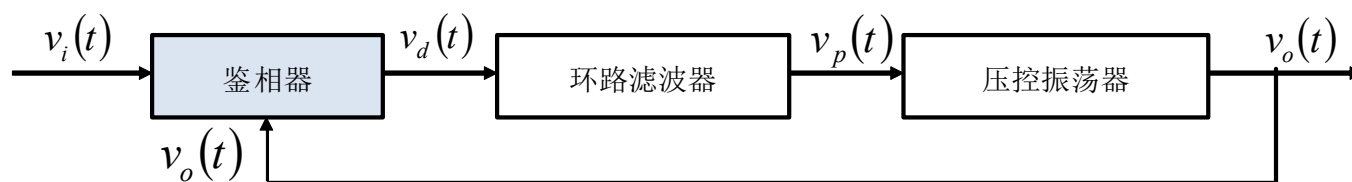
#### ■ 非线性动态系统的交直流分析

# 锁相环原理框图



- 三个基本构件组成：鉴相器，环路滤波器和压控振荡器
- 基本工作原理
  - 鉴相器将输入和输出信号的相位差鉴别出来后，转化为电压信号
  - 对电压信号进行低通滤波处理，将相位中的高频噪声滤除，相位中的低频分量和直流分量用于控制压控振荡器的频率输出
  - 压控振荡器在经过低通滤波后的控制电压的作用下，其输出信号的相位跟踪输入信号的相位变化
    - 如果是窄带跟踪环，输出频率严格等于输入信号中心载频
    - 如果是调制跟踪环，输出信号相位跟踪输入信号通带内相位变化

## 2.1 基本构件的数学模型



**PD: Phase Detector**

**LF: Loop Filter**

**VCO: Voltage Controlled Oscillator**

**鉴相器数学模型**

$$v_d(t) = f[\varphi_i(t) - \varphi_o(t)] = f[\varphi_e]$$

$$v_d(t) = f[\varphi_e] = K_d \varphi_e$$

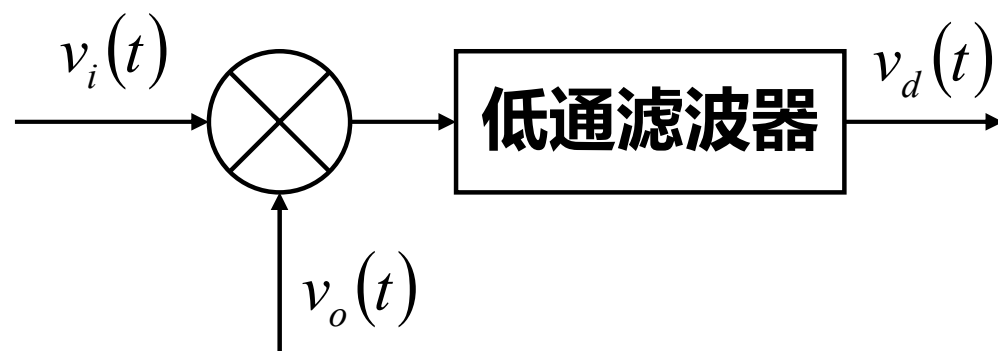
理想鉴相器具有线性鉴相功能

鉴相电压

鉴相灵敏度

误差相位

# 用乘法器实现的鉴相功能



$$v_i(t) = V_{im} \sin[\omega_{i0}t + \theta_i(t)] = V_{im} \sin \varphi_i(t)$$

$$v_o(t) = V_{om} \cos[\omega_{o0}t + \theta_o(t)] = V_{om} \cos \varphi_o(t) = V_{om} \sin(\varphi_o(t) + 90^\circ)$$

**乘法器实现的鉴相功能，相位差中默认存在一个90°的直流分量**

$$v_d(t) = \frac{1}{2} K V_{im} V_{om} \sin(\varphi_i(t) - \varphi_o(t)) = K_d \sin \varphi_e(t)$$

**乘法器实现的是正弦鉴相功能**

# 瞬时相位

$$v_i(t) = V_{im} \sin[\omega_{i0}t + \theta_i(t)] = V_{im} \sin \varphi_i(t)$$

$$v_o(t) = V_{om} \cos[\omega_{o0}t + \theta_o(t)] = V_{om} \cos \varphi_o(t)$$

- 输入参考信号 $v_i(t)$ 的中心角频率为 $\omega_{i0}$ ,  $\theta_i(t)$ 为以 $\omega_{i0}t$ 为参考相位的瞬时相位
  - 如果输入信号为单频正弦波, 那么 $\theta_i(t)$ 为常数; 如果输入是一个调相波, 那么 $\theta_i(t)$ 按调制信号 $v_f(t)$ 的规律线性变化
- 压控振荡器输出信号 $v_o(t)$ 的中心角频率为 $\omega_{o0}$ ,  $\theta_o(t)$ 为以 $\omega_{o0}t$ 为参考相位的瞬时相位
  - $\omega_{o0}$ 是VCO的自由振荡角频率 (控制电压 $v_p(t)=0$ 时的振荡频率, 是压控特性的中心频率点)



# 统一参考相位

- 至少在锁相环刚刚闭环时，鉴相器输入端两个信号的频率是不同的
  - 一个是 $\omega_{i0}$ ，一个是 $\omega_{o0}$
- 形成闭环后，负反馈控制作用导致VCO频率越来越接近输入频率，当PLL最终锁定后，振荡器输出中心频率严格等于输入中心频率
- 为了便于建立简单模型以考察从开始的未锁定到最终锁定的全过程，统一以VCO的自由振荡相位 $\omega_{o0}t$ 为参考相位

$$\varphi_i(t) = \omega_{i0}t + \theta_i(t) = \omega_{o0}t + (\omega_{i0} - \omega_{o0})t + \theta_i(t) = \omega_{o0}t + \theta_1(t)$$

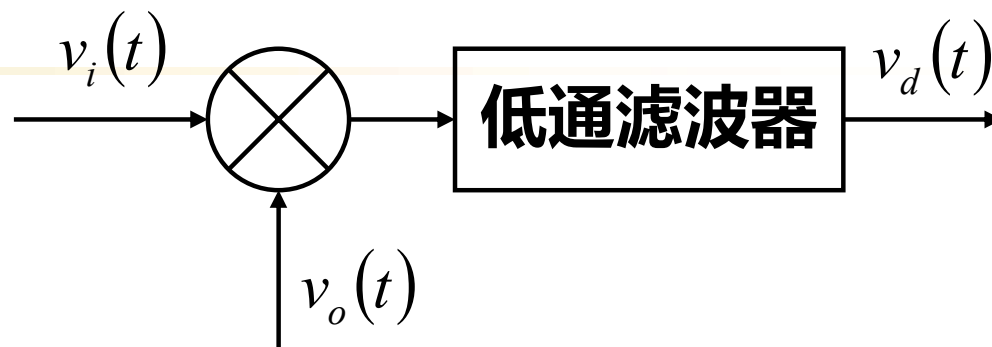
$$\varphi_o(t) = \omega_{o0}t + \theta_o(t) = \omega_{o0}t + \theta_2(t)$$

鉴相器输出是误差相位的函数： $v_d(t) = f[\varphi_e(t)]$

$$\varphi_e(t) = \varphi_i(t) - \varphi_o(t) = \theta_1(t) - \theta_2(t) = \theta_e(t)$$

# 正弦鉴相特性

## 线性鉴相



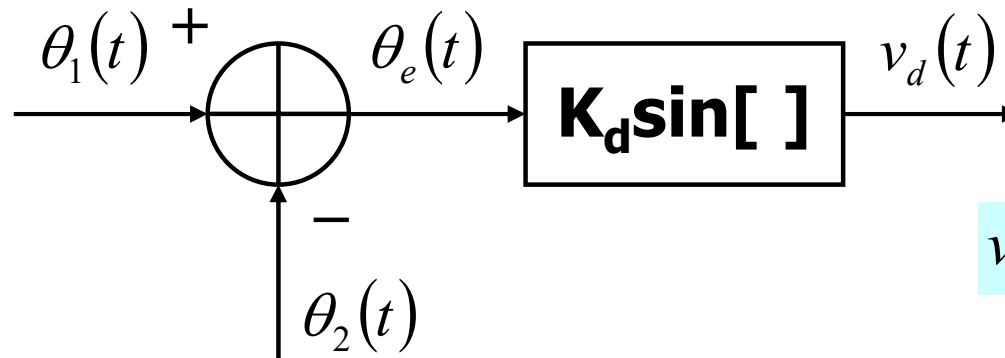
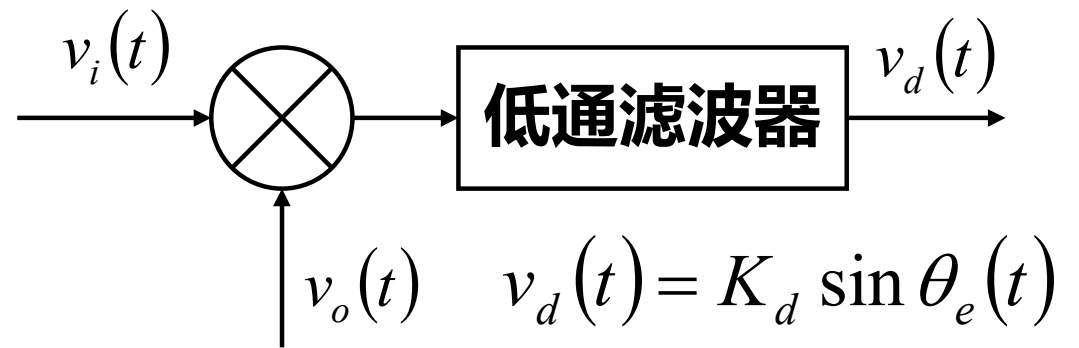
$$v_d(t) = \frac{1}{2} K V_{im} V_{om} \sin(\varphi_i(t) - \varphi_o(t)) = K_d \sin \varphi_e(t)$$

$$v_d(t) = K_d \sin \varphi_e(t) = K_d \sin \theta_e(t)$$

如果相位差  $|\varphi_e| < \pi/6$ ,

正弦鉴相特性可以近似为线性鉴相特性:  $v_d(t) \approx K_d \varphi_e(t)$

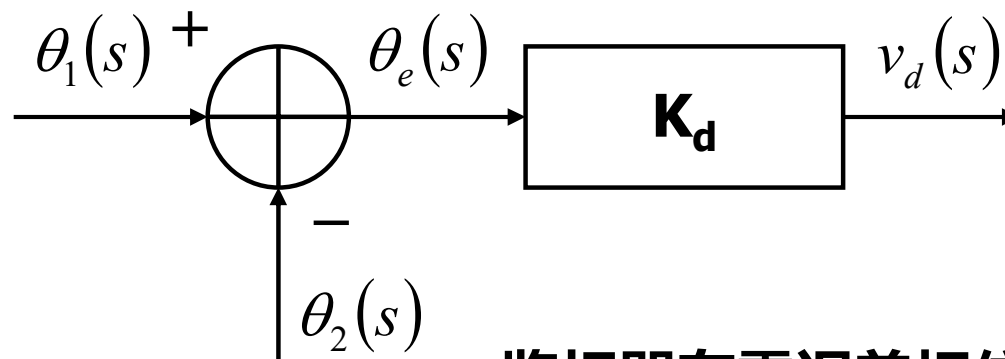
# 正弦鉴相器 数学模型



$$v_d(t) = K_d \sin \theta_e(t)$$

非线性鉴相特性

- 如果采用线性模型，则有复频域模型如下



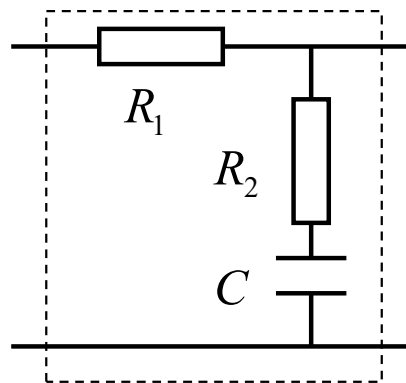
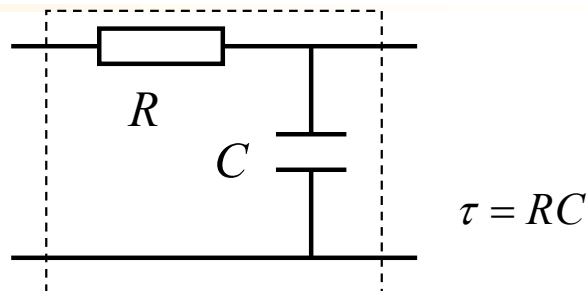
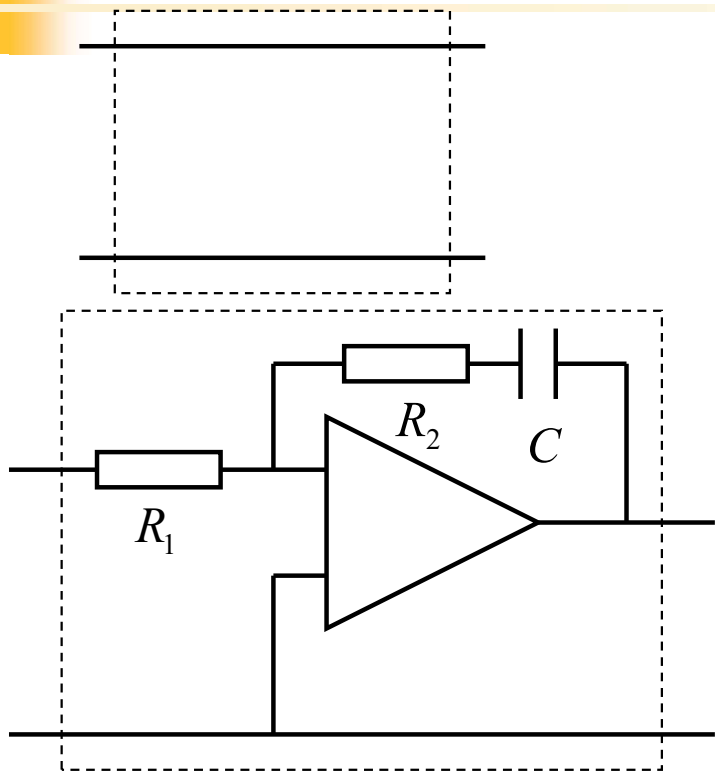
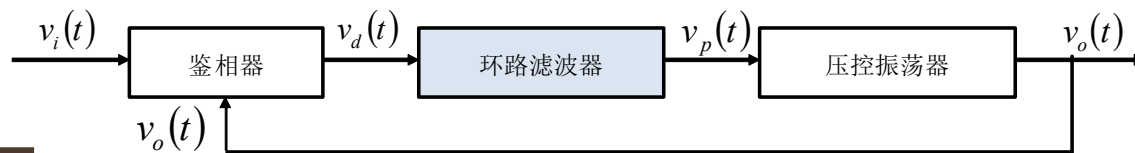
如果相位差  $|\varphi_e| < \pi/6$ ,

正弦鉴线性范围内:  $v_d(t) \approx K_d \theta_e(t)$

$$v_d(s) = K_d \theta_e(s)$$

鉴相器在零误差相位附近的线性化模型

# 环路滤波器



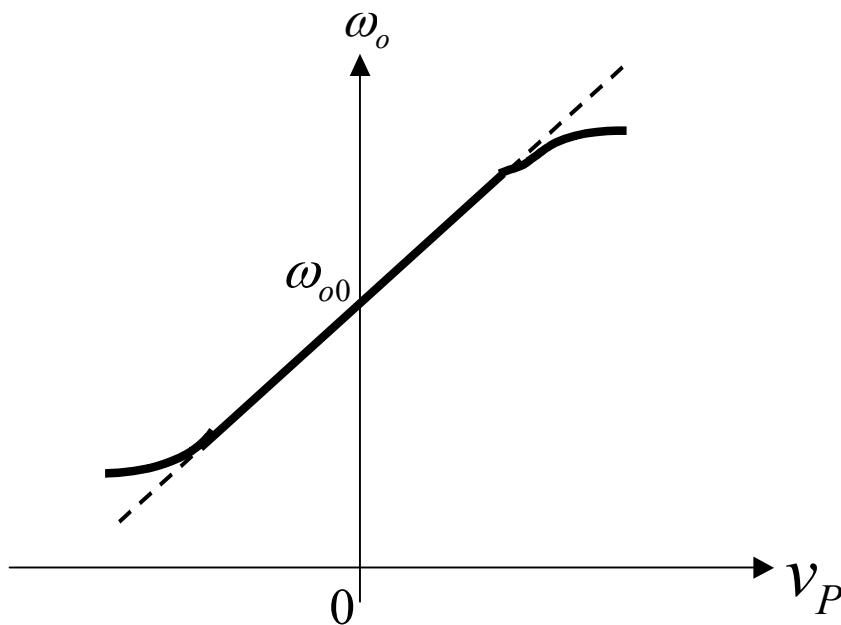
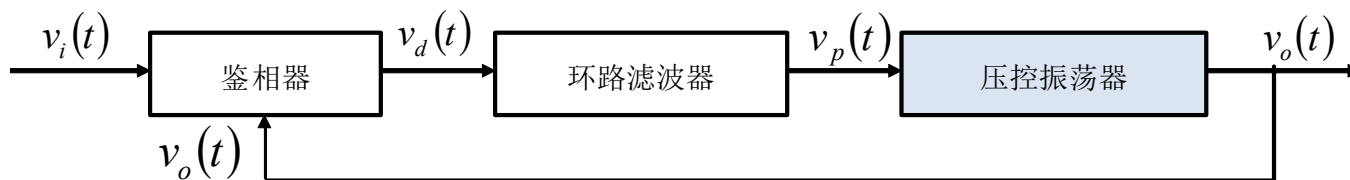
直通:  $H_F(s) = 1$

RC积分滤波器:  $H_F(s) = \frac{1}{1 + s\tau}$

无源比例积分滤波器:  $H_F(s) = \frac{1 + s\tau_2}{1 + s(\tau_1 + \tau_2)}$

有源比例积分滤波器:  $H_F(s) = -\frac{1 + s\tau_2}{s\tau_1}$  (理想)

# 压控振荡器



$$\omega_o(t) = \omega_{o0} + g[v_P(t)]$$

$$\omega_o(t) = \omega_{o0} + K_\omega v_P(t)$$

**PLL中，频率调制器中，都希望压控特性是线性特性**

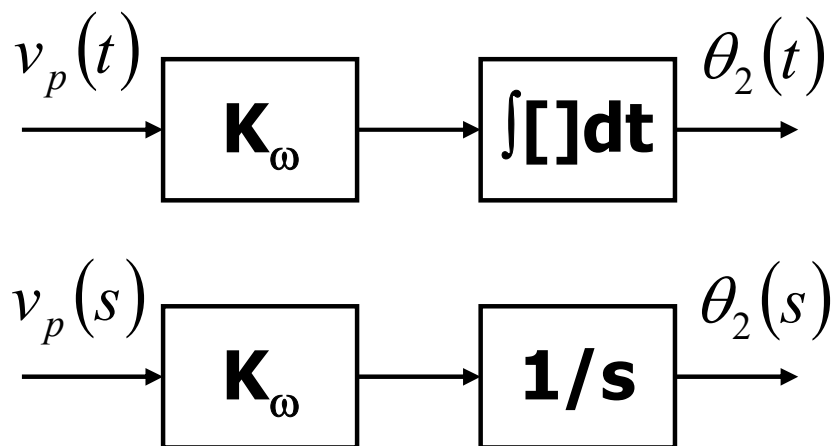
**在中心频点附近做线性化处理**

# 压控振荡器数学模型

$$\omega_o(t) = \omega_{o0} + K_\omega v_p(t)$$

- 在锁相环路中，压控振荡器的输出对鉴相器起作用的不是瞬时角频率而是它的**瞬时相位**

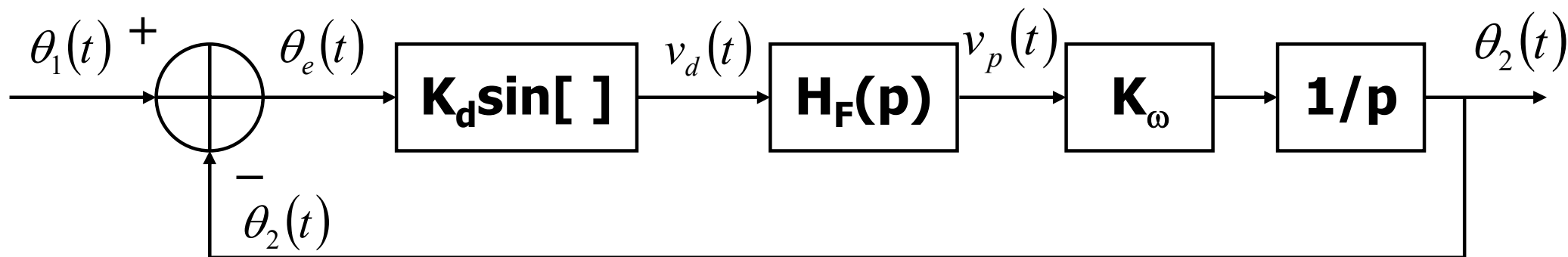
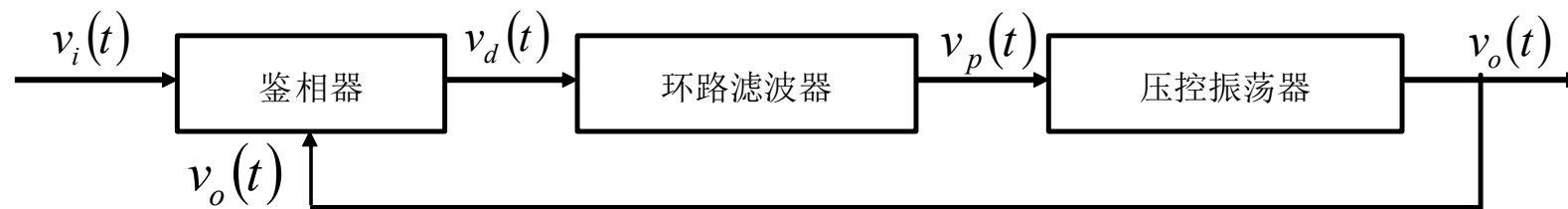
$$\varphi_o(t) = \int_0^t \omega_o(t) dt = \omega_{o0}t + K_\omega \int_0^t v_p(t) dt = \omega_{o0}t + \theta_2(t)$$



■ 表征VCO输出相位的 $\theta_2(t)$ 与输入控制电压 $v_p(t)$ 关系的数学模型是一个理想积分器，因此也称VCO是锁相环路中的固有积分环节

■ 锁相环锁定的是相位（鉴相器鉴别的是相位差），而VCO线性受控输出的是频率，因而必然存在一个内在的积分环节

## 2.2 PLL相位数学模型



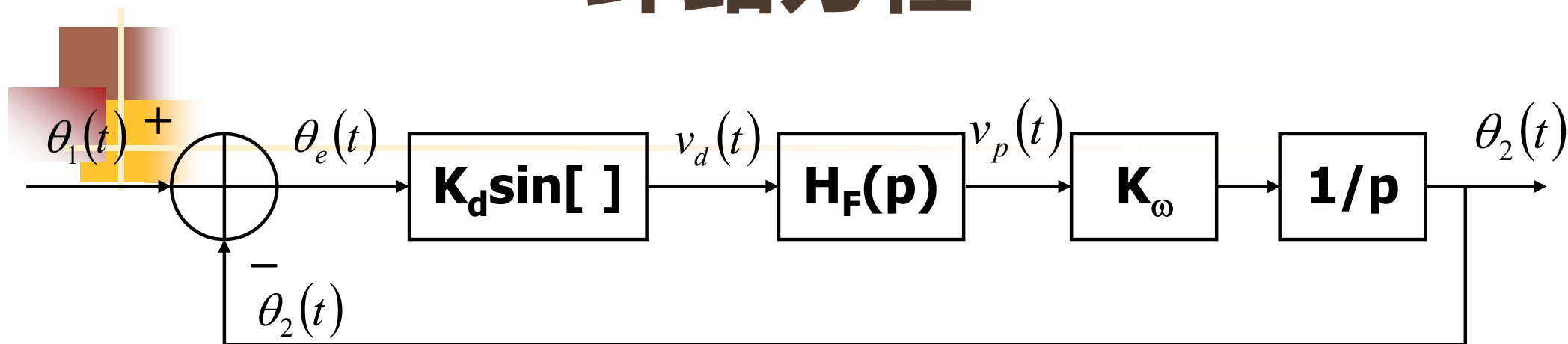
$$p = \frac{d}{dt}$$

微分算子

$$\frac{1}{p} = \int \cdot dt$$

积分算子

# 环路方程



方便表述起见，积分和微分运算用算子符号表示：  
点乘形式只是方便表述，  
说明的是时域信号通过系统作用后的时域输出信号

$$\theta_2(t) = \frac{K_\omega}{p} \bullet (H_F(p) \bullet (K_d \sin \theta_e(t)))$$

$$\theta_e(t) = \theta_1(t) - \theta_2(t) = \theta_1(t) - \frac{K_\omega}{p} \bullet (H_F(p) \bullet (K_d \sin \theta_e(t)))$$

$$p \bullet \theta_e(t) = p \bullet \theta_1(t) - K_d K_\omega (H_F(p) \bullet (\sin \theta_e(t)))$$

$$v_p(t) = H_F(p) \bullet v_d(t) = h_f(t) * v_d(t)$$

$$\frac{d\theta_e(t)}{dt} = \frac{d\theta_1(t)}{dt} - K_P (H_F(p) \bullet (\sin \theta_e(t)))$$

$$K_P = K_d K_\omega$$



环路方程：瞬时频差+控制频差=输入固有频差

$$\frac{d\theta_e(t)}{dt} + \frac{d\theta_2(t)}{dt} = \frac{d\theta_1(t)}{dt}$$

## 环路方程各项代表的是频差关系

$$\frac{d\theta_e(t)}{dt} = \frac{d\theta_1(t)}{dt} - K_P(H_F(p) \bullet (\sin \theta_e(t)))$$

**非线性动态系统**  
**非线性微分方程**

$$\frac{d\theta_e(t)}{dt} = \frac{d\varphi_e(t)}{dt} = \frac{d\varphi_i(t)}{dt} - \frac{d\varphi_o(t)}{dt} = \omega_i(t) - \omega_o(t) = \Delta\omega_e(t) : \text{瞬时频差}$$

$$\frac{d\theta_1(t)}{dt} = (\omega_{i0} - \omega_{o0}) + \frac{d\theta_i(t)}{dt} : \text{输入固有频差}$$

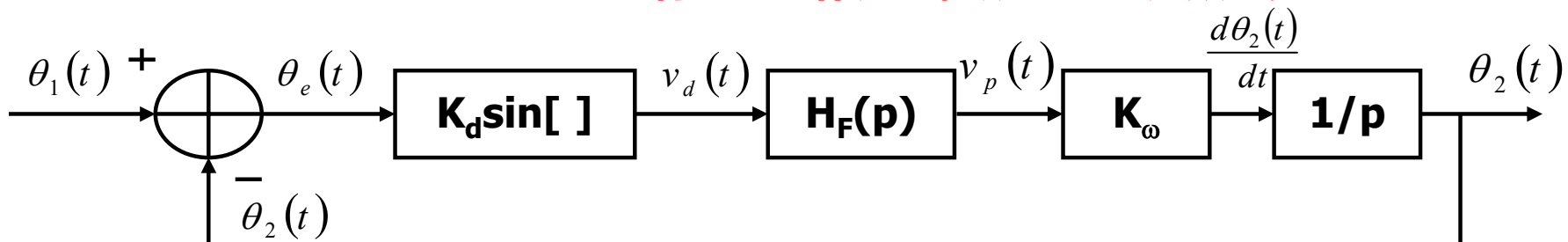
$$\theta_1(t) = (\omega_{i0} - \omega_{o0})t + \theta_i(t)$$

**由起始工作状态决定**

$$\frac{d\theta_2(t)}{dt} = K_\omega v_p(t) = \omega_o(t) - \omega_{o0} : \text{控制频差}$$

$$\omega_o(t) = \omega_{o0} + K_\omega v_p(t)$$

**压控振荡器在VCO控制电压的作用下，所产生的角频率变化量**



# 非线性动态系统

$$\frac{d\theta_e(t)}{dt} = \frac{d\theta_1(t)}{dt} - K_P(H_F(p) \bullet \sin \theta_e(t))$$

- 环路方程表示环路中动态角频率的平衡关系，即闭环环路在任何时刻都满足

- 瞬时频差=输入固有频差-控制频差

$$\frac{d\theta_1(t)}{dt} = (\omega_{i0} - \omega_{o0}) + \frac{d\theta_i(t)}{dt} = (\omega_{i0} - \omega_{o0})$$

- 如果输入固有频差是固定的（例如参考信号源为稳定度很高的晶振），随着环路的控制过程，控制频差越来越大，瞬时频差（整体趋势上）越来越小，直至瞬时频差为0，进入锁定状态

- 在锁定状态，控制频差等于输入固有频差，瞬时频差为0（输出频率严格等于输入频率，但存在一个常数瞬时相差）

# 瞬时频差越来越小

瞬时频差

$\omega_{i0}$

$\omega_{o0}$

控制频差

采用有源比例积分滤波器  $\omega_n = 1.85$ ,  $\xi = 0.9$

$\Delta\omega_i = 9$

瞬时频差=输入固有频差-控制频差

$$\frac{d\theta_e(t)}{dt} = \frac{d\theta_1(t)}{dt} - \frac{d\theta_2(t)}{dt}$$

$\varphi_{e0} = 90^\circ$

**2、锁定状态：相位锁定**  
误差相位变化很小，可用线性  
动态过程近似分析

$\varphi_{e0} = 0^\circ$

$\varphi_{e0} = 180^\circ$

$\varphi_{e0} = 270^\circ$

VCO输出频率 $\omega_o$

$\varphi_{e0} = 270^\circ$

$\varphi_{e0} = 0^\circ$

$\varphi_{e0} = 180^\circ$

$\varphi_{e0} = 90^\circ$

**1、初始为自由振荡频率：**

$\omega_o = \omega_{o0}$

**2、在环路控制作用下，越来越接近输入参考频率：**

$\omega_o \rightarrow \omega_{i0}$

**3、最终锁定而相等：**

$\omega_o = \omega_{i0}$

**1、捕获过程：频率牵引**  
误差相位很大，非线性动态过程

$$\frac{d\theta_e(t)}{dt} = \frac{d\theta_1(t)}{dt} - K_P(H_F(p) \bullet \sin\theta_e(t))$$

## 2.3 环路方程分析

### ■ 环路方程是一个非线性微分方程

- 求解极为麻烦

$$\frac{d\theta_e(t)}{dt} = \frac{d\theta_1(t)}{dt} - K_P(H_F(p) \bullet \sin \theta_e(t))$$

### ■ 起始阶段

- 捕获：当系统开始工作时，压控振荡器的频率朝着接近输入信号频率的方向变化的**频率牵引**过程被称为是**捕获**
  - 非线性过程：瞬时相差变化很大，超出正弦鉴相特性的线性范围

### ■ 锁定阶段

- 跟踪：VCO跟踪输入信号频率变化与相位变化的过程
  - 可近似为线性过程
    - 假设相差变化很小，正弦鉴相特性化简为线性鉴相特性

$$\frac{d\theta_e(t)}{dt} = \frac{d\theta_1(t)}{dt} - K_P(H_F(p) \bullet \sin \theta_e(t))$$

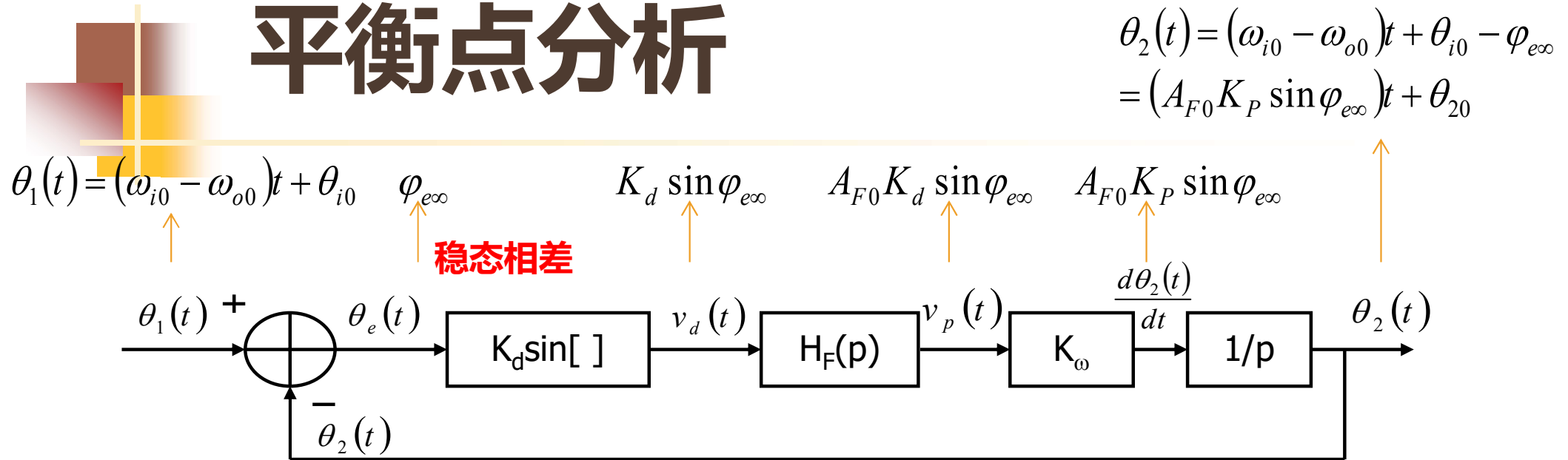
## 2.3.1 平衡点分析：直流分析

- 非线性动态捕获过程放在下节讨论
  - 可能捕获并锁定，也可能无法锁定
- 假设已经锁定，先求得平衡点
  - 平衡点：系统从该点开始，如果输入不变，那么在将来的任何时刻仍然在该点不动，则为平衡点
    - 对非线性动态电路系统而言，就是电容开路、电感短路状态，也就是直流工作点
      - PLL处理的是相位，不存在电容、电感，PLL的直流分析指的是输入相位不变为常量且系统已经锁定（动态系统进入稳态）后的情况
  - 直流工作点分析：假设输入相位为常数（直流）

$$\varphi_i(t) = \omega_{i0}t + \theta_i(t) = \omega_{i0}t + \theta_{i0}$$

$$\frac{d\theta_1(t)}{dt} = (\omega_{i0} - \omega_{o0}) = \Delta\omega_0$$

# 平衡点分析



$$0 = \frac{d\theta_e(t)}{dt} = \frac{d\theta_1(t)}{dt} - K_P (H_F(p) \bullet (\sin \theta_e(t))) \quad \lim_{t \rightarrow \infty} \theta_e(t) = \varphi_{e\infty}$$

$$\omega_{i0} - \omega_{o0} = \frac{d\theta_1}{dt} = \frac{d\theta_2}{dt} = \omega_{o\infty} - \omega_{o0}$$

$$= K_\omega v_{p\infty} = K_\omega V_{p0} = K_\omega H_F(0) K_d \sin \varphi_{e\infty} = K_P A_{F0} \sin \varphi_{e\infty}$$

$$\varphi_{e\infty} = \arcsin \frac{\omega_{i0} - \omega_{o0}}{K_P A_{F0}}$$

**稳态相差使得输出频率严格等于输入频率**

$$\varphi_{e\infty} = \arcsin \frac{\omega_{i0} - \omega_{o0}}{K_P A_{F0}} \quad \omega_{i0} - \omega_{o0} = K_P A_{F0} \sin \varphi_{e\infty}$$

# 同步带

$$\omega_{o0} - K_P A_{F0} < \omega_{i0} < \omega_{o0} + K_P A_{F0}$$

$$\Delta\omega_H = K_P A_{F0}$$

输入频率必须在这个范围内才有可能锁定，超出这个范围则一定无法锁定  
这个范围被称为同步带

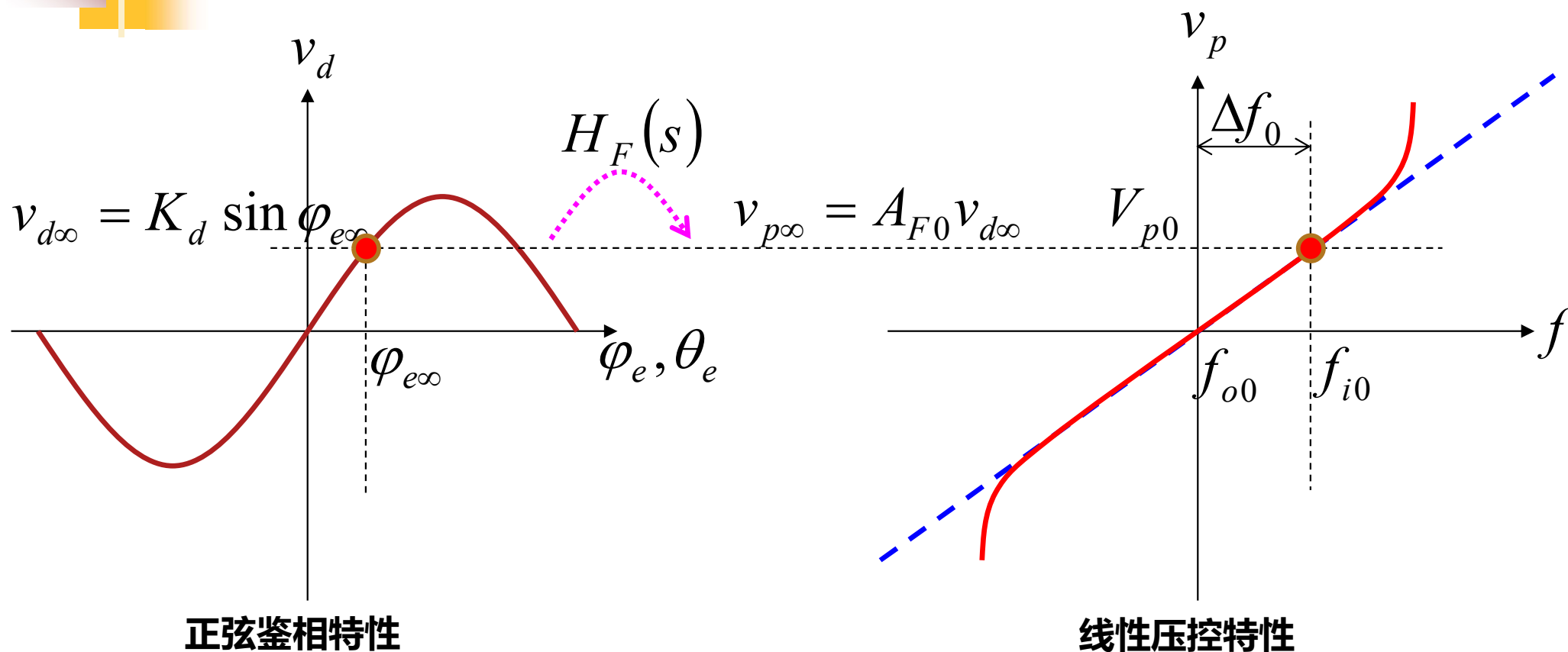
- 假设输入频率在同步带内，输入相位为常数，那么环路锁定后，输出频率等于输入频率，同时有一个相差

$$v_i(t) = V_{im} \sin(\omega_{i0}t + \theta_{i0})$$

$$v_{o,\infty}(t) = V_{om} \cos(\omega_{i0}t + \theta_{i0} - \varphi_{e\infty})$$

$$\varphi_{e\infty} = \arcsin \frac{\omega_{i0} - \omega_{o0}}{K_P A_{F0}}$$

# 平衡点

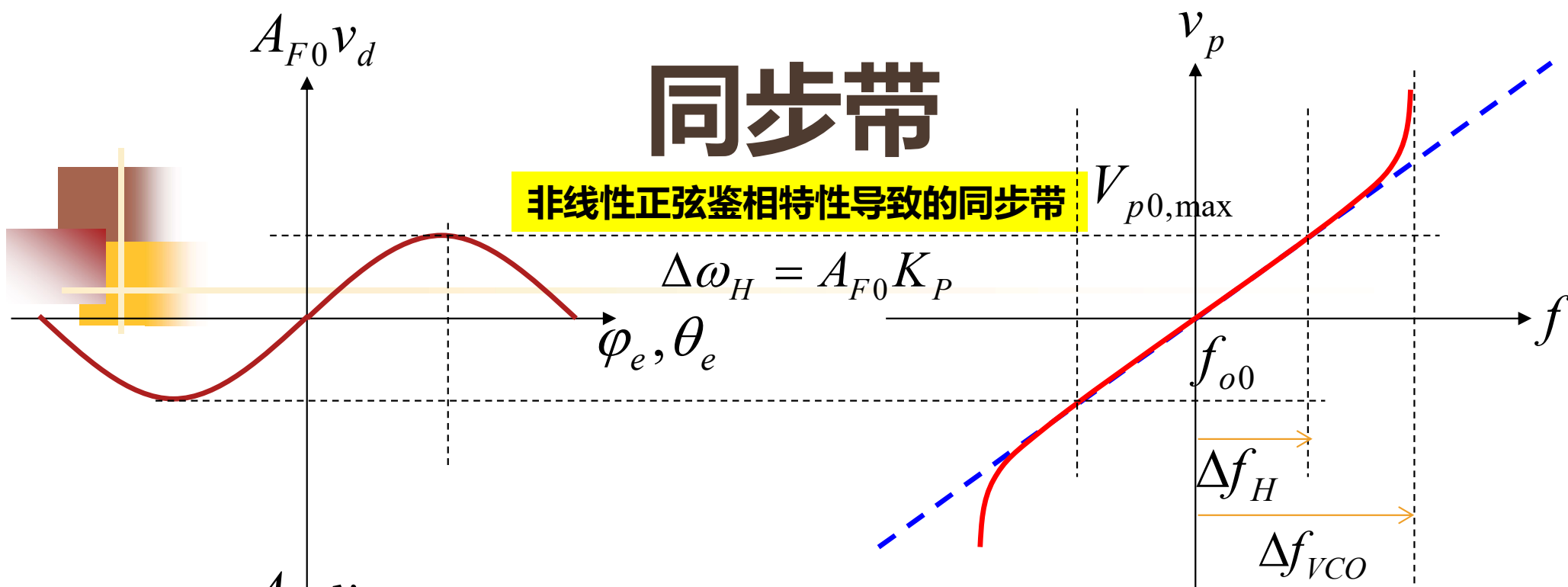


稳态相差维持VCO的输出频率，使其严格等于输入频率

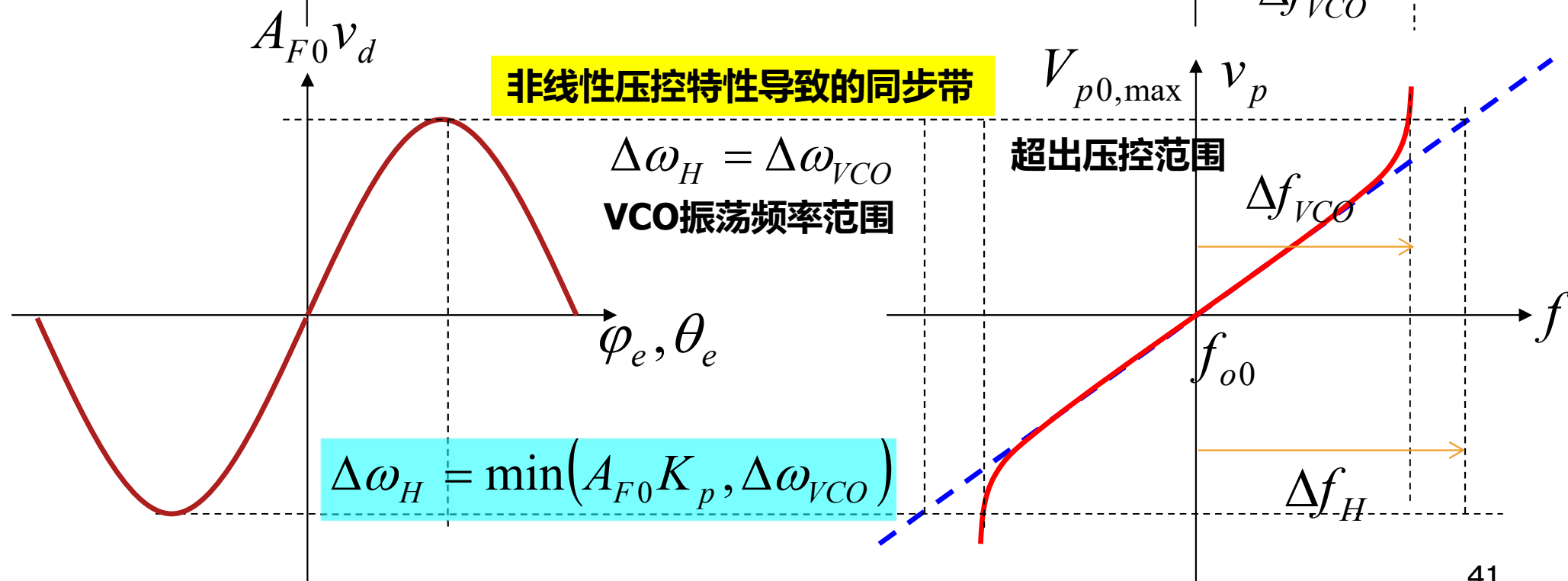


# 同步带

非线性正弦鉴相特性导致的同步带

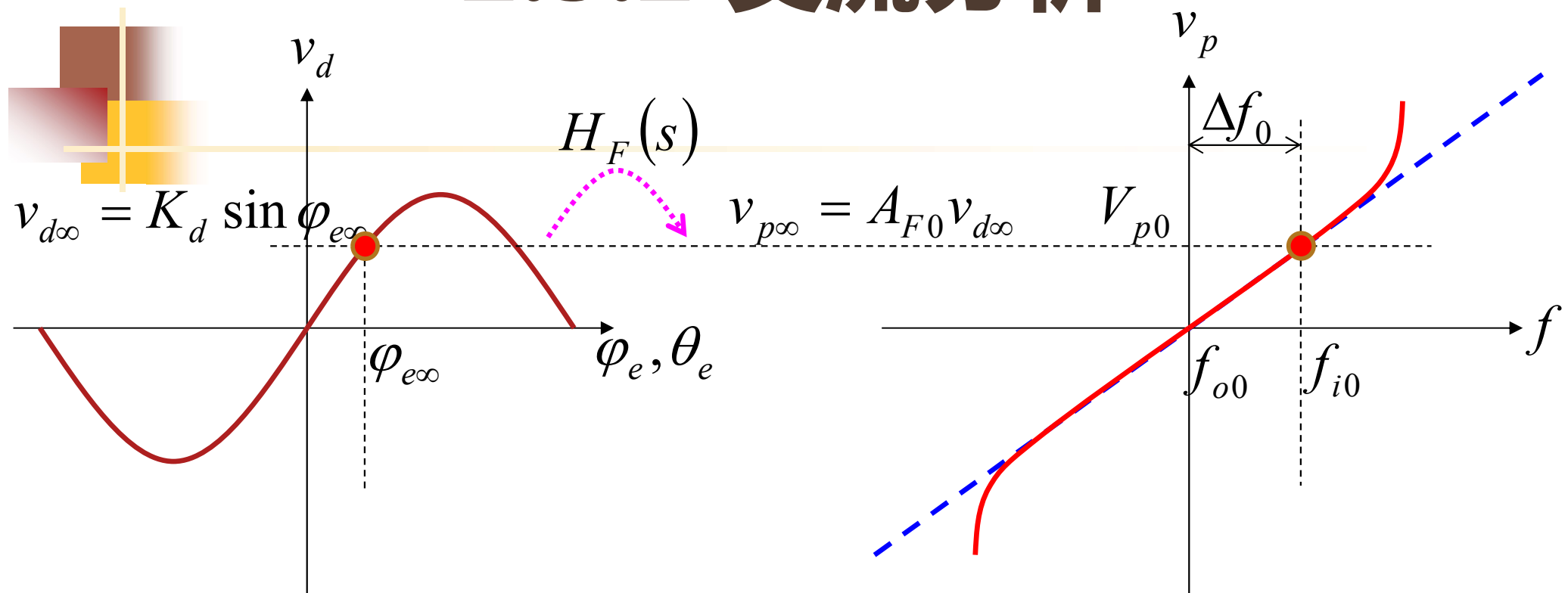


非线性压控特性导致的同步带



$$\Delta\omega_H = \min(A_{F0}K_p, \Delta\omega_{VCO})$$

## 2.3.2 交流分析



$$\varphi_i(t) = \omega_{i0}t + \theta_{i0}$$

$$\omega_i(t) = \frac{d}{dt} \varphi_i(t) = \omega_{i0}$$

**直流分析结果**

$$\varphi_o(t) = \omega_{i0}t + \theta_{i0} - \varphi_{e\infty}$$

$$\omega_o(t) = \frac{d}{dt} \varphi_o(t) = \omega_{i0}$$

**交流小信号分析为直流工作点上的微分斜率分析**

# 交流小信号相位稳态分析

$$\varphi_i(t) = \underline{\omega_{i0}t + \theta_{i0}} + \underline{\theta_{im} \sin \Omega t}$$

直流分析

$H(s)$   
交流小信号线性分析

$$\omega_i(t) = \frac{d}{dt} \varphi_i(t) = \omega_{i0} + \theta_{im} \Omega \cos \Omega t$$

$$\varphi_o(t) = \underline{\omega_{i0}t + \theta_{i0} - \varphi_{e\infty}} + \underline{\theta_{om} \sin(\Omega t + \psi)}$$

直流分量  
严格相等  
中心频率  
严格锁定

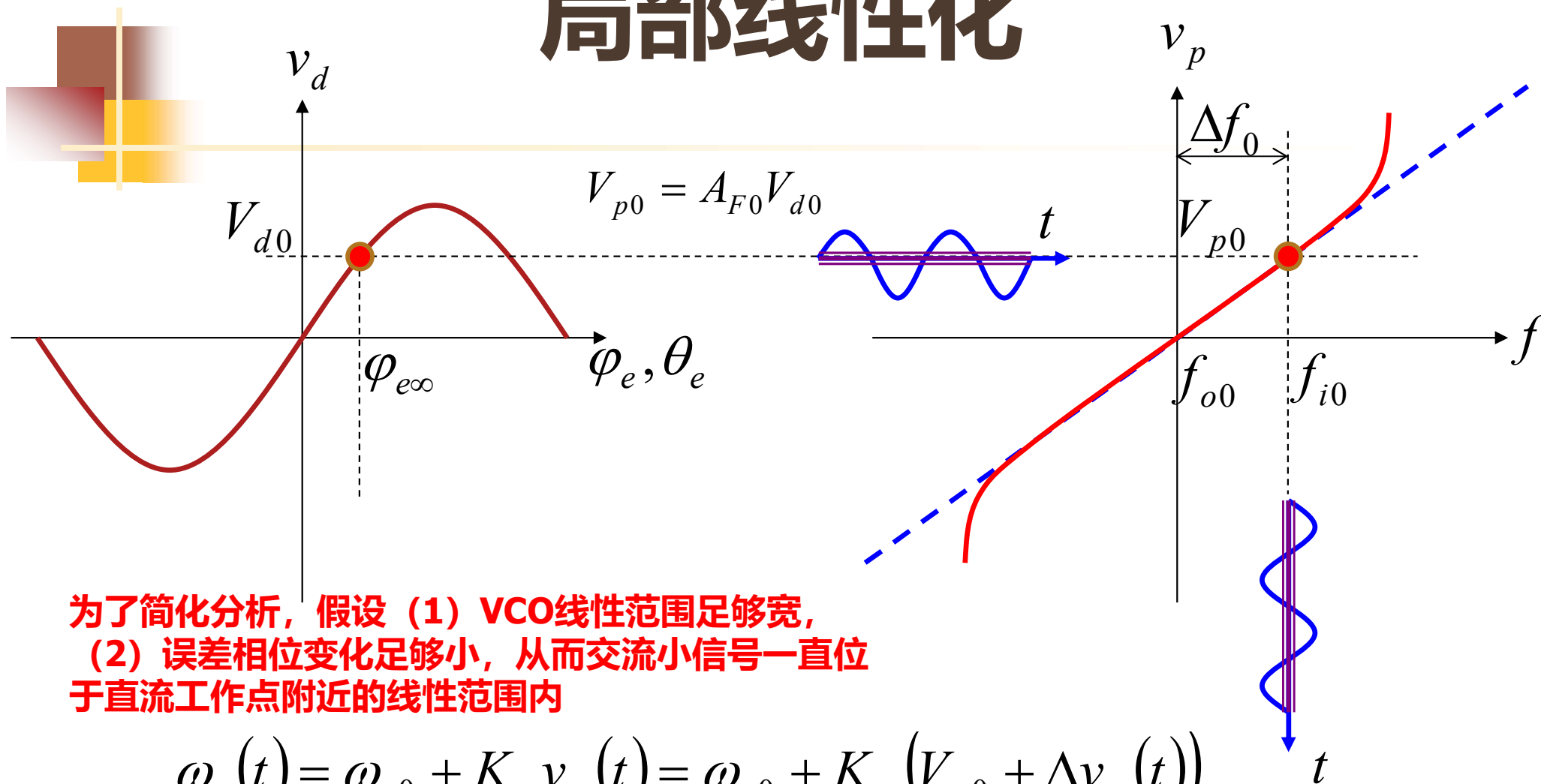
$H(s)$   
交流分量有  
频率响应

$$\frac{\theta_{om}}{\theta_{im}} = |H(j\Omega)|$$

$$\psi = \text{angle}(H(j\Omega))$$

$$\omega_o(t) = \frac{d}{dt} \varphi_o(t) = \omega_{i0} + \theta_{om} \Omega \cos(\Omega t + \psi)$$

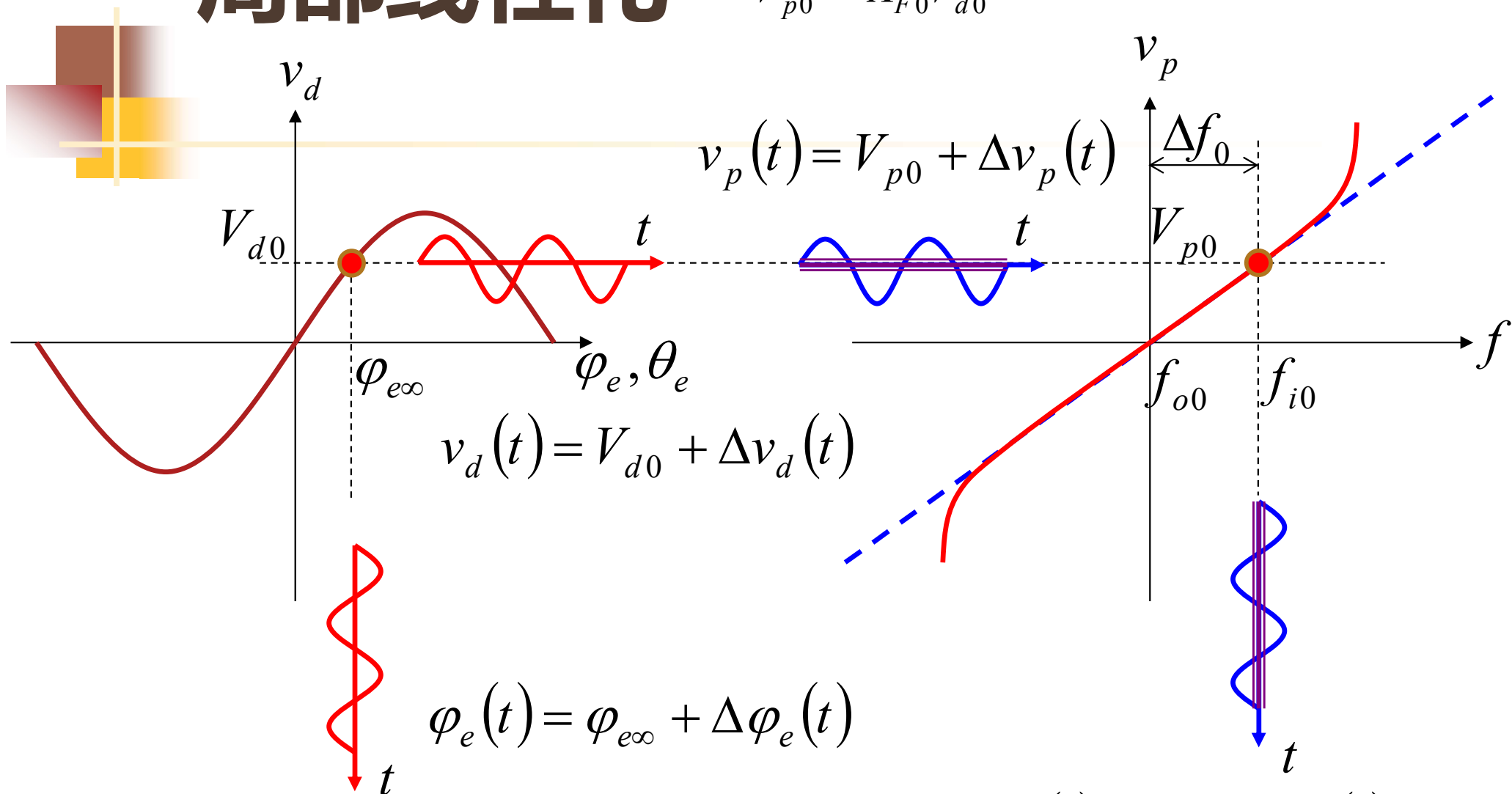
# 局部线性化



$$\begin{aligned}\omega_o(t) &= \omega_{o0} + K_\omega v_p(t) = \omega_{o0} + K_\omega (V_{p0} + \Delta v_p(t)) \\ &= \omega_{o0} + K_\omega V_{p0} + K_\omega \Delta v_p(t) = \omega_{i0} + \Delta \omega_o(t)\end{aligned}$$

# 局部线性化

$$V_{p0} = A_{F0} V_{d0}$$



假设 (1) VCO线性范围足够宽, (2) 误差相位足够小。从而交流分析可用近似线性化

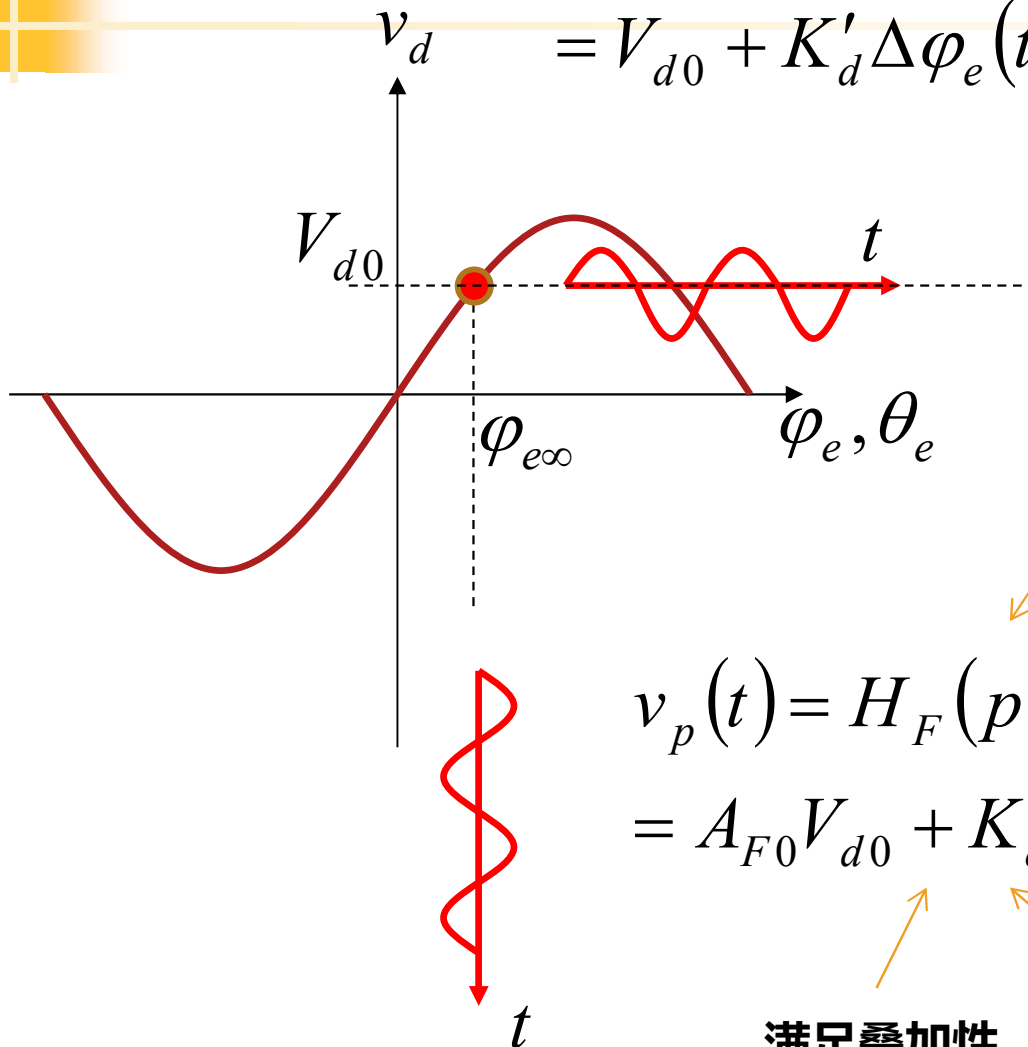
$$f_o(t) = f_{i0} + \Delta f_o(t)$$

调频或调相导致的频率变化

# 正弦鉴相特性局部线性化

$$\begin{aligned}
 v_d(t) &= K_d \sin \varphi_e(t) = K_d \sin(\varphi_{e\infty} + \Delta\varphi_e(t)) \\
 &= K_d \sin \varphi_{e\infty} \cos \Delta\varphi_e(t) + K_d \cos \varphi_{e\infty} \sin \Delta\varphi_e(t) \\
 &\approx K_d \sin \varphi_{e\infty} + (K_d \cos \varphi_{e\infty}) \Delta\varphi_e(t) \\
 &= V_{d0} + K'_d \Delta\varphi_e(t)
 \end{aligned}$$

平衡点进行局部线性化处理



滤波器: 线性系统

$$\begin{aligned}
 v_p(t) &= H_F(p) \bullet v_d(t) \\
 &= A_{F0} V_{d0} + K'_d H_F(p) \bullet \Delta\varphi_e(t)
 \end{aligned}$$

满足叠加性, 均匀性

# 环路受控交直流分析

$$\varphi_e(t) = \varphi_{e\infty} + \Delta\varphi_e(t)$$

非线性鉴相特性直流工作点的微分斜率

$$v_d(t) = V_{d0} + K'_d \Delta\varphi_e(t) \approx K_d \sin \varphi_{e\infty} + K_d \cos \varphi_{e\infty} \Delta\varphi_e(t)$$

$$v_p(t) = V_{p0} + \Delta v_p(t) = H_F(p) \bullet v_d(t) = A_{F0} V_{d0} + K'_d H_F(p) \bullet \Delta\varphi_e(t)$$

$$\Delta\omega_o(t) = K_\omega v_p(t) = K_\omega V_{p0} + K_\omega \Delta v_p(t) = (\omega_{i0} - \omega_{o0}) + K_\omega K'_d H_F(p) \bullet \Delta\varphi_e(t)$$

$$\omega_o(t) = \omega_{o0} + \Delta\omega_o(t) = \omega_{i0} + K_\omega K'_d H_F(p) \bullet \Delta\varphi_e(t)$$

$$\varphi_o(t) = \omega_{i0}t + \theta_{i0} - \varphi_{e\infty} + K_\omega K'_d \frac{1}{p} \bullet H_F(p) \bullet \Delta\varphi_e(t)$$

$$\varphi_i(t) = \omega_{i0}t + \theta_{i0} + \Delta\varphi_i(t)$$

$$\varphi_e(t) = \varphi_i(t) - \varphi_o(t)$$

$$\Delta\varphi_e(t) = \Delta\varphi_i(t) - K_\omega K'_d \frac{1}{p} \bullet H_F(p) \bullet \Delta\varphi_e(t)$$

$$= \varphi_{e\infty} + \Delta\varphi_i(t) - K_\omega K'_d \frac{1}{p} \bullet H_F(p) \bullet \Delta\varphi_e(t)$$

微分线性模型



# 交流小信号线性方程

$$\Delta\varphi_e(t) = \Delta\varphi_i(t) - K_\omega K'_d \frac{1}{p} \bullet H_F(p) \bullet \Delta\varphi_e(t)$$

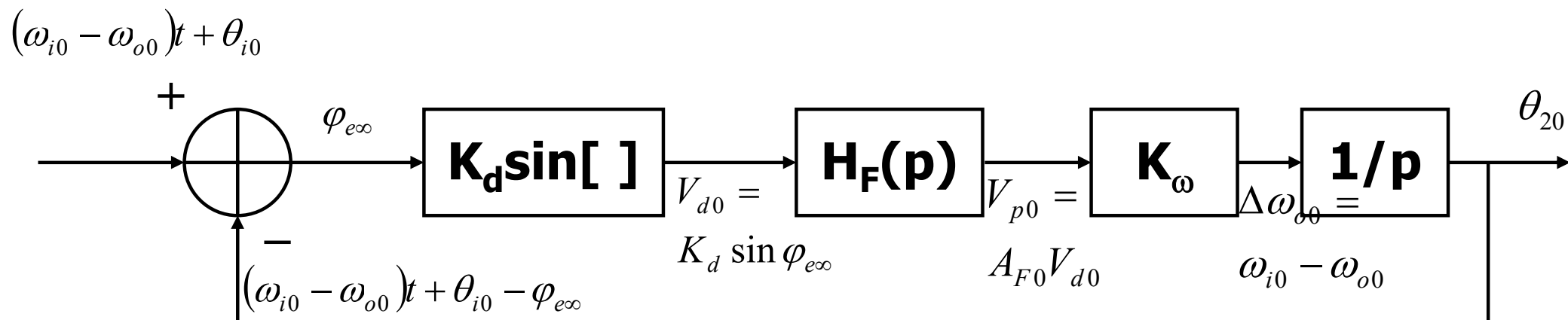
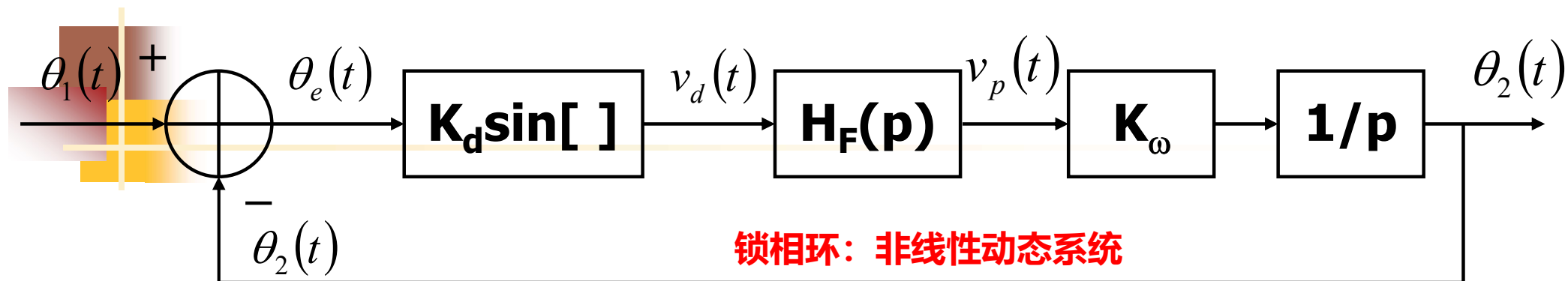
$$\Delta\varphi_e(s) = \Delta\varphi_i(s) - K_\omega K'_d \frac{1}{s} H_F(s) \Delta\varphi_e(s)$$

$$\Delta\varphi_e(s) \left( 1 + K_\omega K'_d \frac{1}{s} H_F(s) \right) = \Delta\varphi_i(s)$$

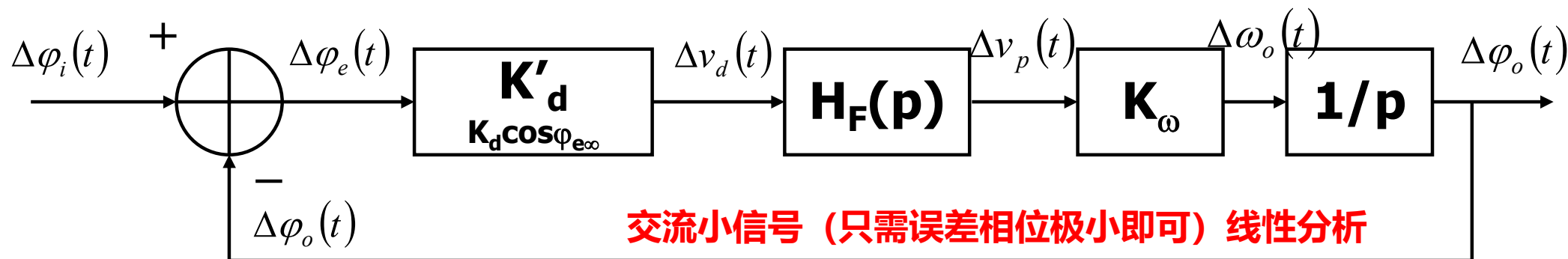
$$H_e(s) = \frac{\Delta\varphi_e(s)}{\Delta\varphi_i(s)} = \frac{1}{1 + K_\omega K'_d \frac{1}{s} H_F(s)} = \frac{s}{s + K_\omega K'_d H_F(s)}$$



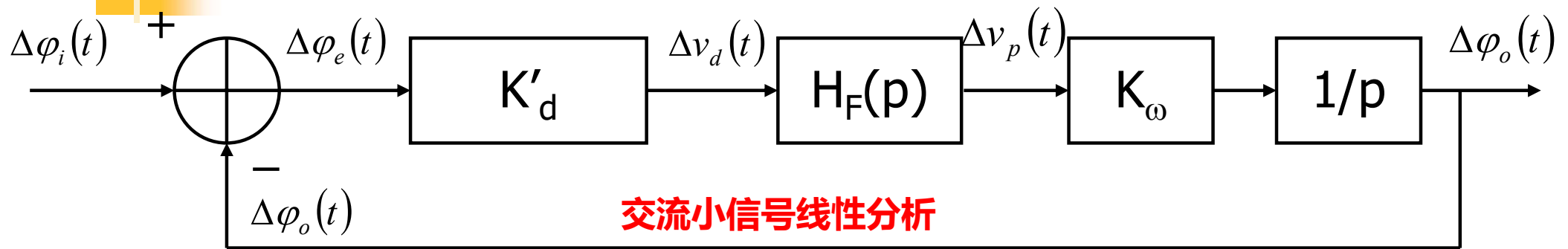
# 锁相环的数学模型



**直流分析（平衡点分析）**



# 交流小信号线性分析



开环传递函数:  $A_o(s) = \frac{\Delta\varphi_o(s)}{\Delta\varphi_e(s)} = \frac{K_p H_F(s)}{s}$

$$K_p = K'_d K_\omega$$

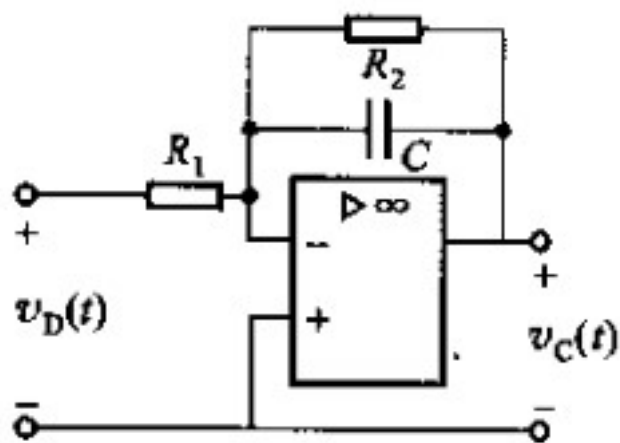
闭环传递函数:  $H(s) = \frac{\Delta\varphi_o(s)}{\Delta\varphi_i(s)} = \frac{A_o(s)}{1 + A_o(s) \cdot 1} = \frac{K_p H_F(s)}{s + K_p H_F(s)}$

低通滤波由此而来

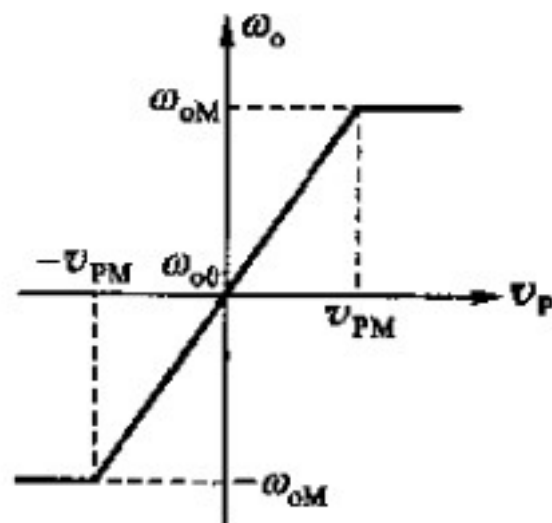
误差传递函数:  $H_e(s) = \frac{\Delta\varphi_e(s)}{\Delta\varphi_i(s)} = \frac{\Delta\varphi_i(s) - \Delta\varphi_o(s)}{\Delta\varphi_i(s)} = 1 - H(s) = \frac{s}{s + K_p H_F(s)}$

# 作业

7-1 求题图 7.1 所示低通滤波器的复频域传递函数。



题图 7.1



题图 7.2

7-3 假定 PLL 已处于锁定状态, 然后缓慢变化输入信号的频率, 若压控振荡器控制特性如题图 7.2 所示。试说明输入信号频率变化到何值时, PLL 将失锁。